

C J - } - } Aê .

声学回声消除与波束成形语音增强方法研究

Study on Acoustic Echo Cancellation and Beamforming Speech Enhancement

OE 65 = Ö _____ Š A Ø₂
0; N¶ Ö _____ +e € >FJ 0;
- ' Ö _____ 31609041
7 , ‰ 8 Ö _____ Lx ¶ ‰
¼ @ O Ö _____ 2018 ¼ 4 8

大连理工大学

Dalian University of Technology

WF *6 W -- }Aê .) K W >

作者郑重声明：所呈交的学位论文，是本人在导师的指导下进行研究工作所取得的成果。尽我所知，除文中已经注明引用内容和致谢的地方外，本论文不包含其他个人或集体已经发表的研究成果，也不包含其他已申请学位或其他用途使用过的成果。与我一同工作的同志对本研究所做的贡献均已在论文中做了明确的说明并表示了谢意。

若有不实之处，本人愿意承担相关法律责任。

学位论文题目：_____声学回声消除与波束成形语音增强方法研究_____

作者签名：_____日期：_____年____月____日

摘 要

B N# _ ê2« 08 'f, ' Ô Â é ? ÄF ¢ • È ¢7-N#1á Ç` 2 jAÔ È ... EõFO È é ï
 ¶ ê , '+O#k Ä v _ È f ê D /ë ¢7-Aî 7E³F & È TÖ {NpLe GG÷LõB N# ' , ' š
 " E³ ~ È9 =4ÿE÷B N# Î j 4*6 6<-\$ ÖF >|Aö [È !B N# Aö [x Ì J , Ä!" F È f ¢
 7-Aî 7 \DÛ Ý n N# &F >| B N#£K^Aý TGÂÈ!Lî ÖE³ W Èb<9 Ä+X - #,L" ° _ È
 F J > n Q T GÂ) · Ä... FfB N# Î j é# <- 'f7- O 9 x ` Á f 6ü Y š È v J) O K
 'FP @ + " Èb< TÖ {NpLe G# • @ ' ° _ l 9 x ` Î jB N# ' DB N# a-O ÖE³
 ? Ä

\ · Y+X TÖ {NpLe G ' `AÑ j PFB - " ÈF >|B N# 6/ë È 'f>F 0! • +X5\$4ã
 % # F >|L} š 4*6 Ä!" F È.D0! ¶ - #,L" ° _ Ä \ · , ' k?± OE² ; Ö

(1) û4ý ¶ TÖ {NpLe GB N# Î j 1Ç# , ' - µ F.D0!) à (æ ¼ - #,L" , ' 6ü Y È 1°
 F ¶ /ý \$À Ê } ¼B N#Gý W õ#{1Ç# Ä

(2) * ¾ WebRTC 0\$À .1] , ' AEC Q ‡ È Î) à ¶ - #,L" Ä(© [_ È X1Ç
 # Î) à E÷0;] ÈG÷+X 6 ‡NÁ 8 F2Ä% # 1Ç# È ! X , 0 F 0 ? w é 1Ç#] Ð • Lb ß Ö
 (6&è 4*6 È Añ ¶ 1Ç# , ' Î & W ¼ #,L" W7- Ä!" F È Ä+X MŽ4i W 4*6° _ È ëL"! »
 ‰ È-1 ë ¶ ü1 õ#{ 4*6 Ä ÎP¼5 Ì>~ > È \ · , ' - #,L" 1Ç# x Ì 8Y - Ä

(3) Y+X 0 ? w é ö l È64i W4Ö • 0 ? é # • @ ' > > 5ž5\$4ã% # 1Ç# 5 8 È
 Î) à ¶ B N# 6/ë ¼L} š 4*6 Ä § f Š# _ È Y+X4i W4Ö • 0 ? é 1Ç# ëL" ¢ È Ç`
 O K ' È ½FJE÷ > 5ž5\$4ã% # ~ ëL"! » +‰ š È FJE÷G} 5ž §Gý , ' é ? È X y ? a-O ¼
 Á f 6ü Y š] Ç 8F2 , ' £ > ' Ä ÎP¼5 Ì>~ > È \ · é# XF j õ å ; 7-9ç Ç8Y - , '
 B N# Î j x Ì Ä

关键词：麦克风阵列；自适应波束成形；声学回声消除；远场语音增强

Study on Acoustic Echo Cancellation and Beamforming Speech Enhancement

Abstract

Speech is the most natural interactive mode and also makes smart speakers popular with people. It makes people's lives more convenient. The signal to noise ratio is relatively low when people are far away from the smart device. The speech recognition effect will be poor without speech enhancement. However, it is difficult to design a narrow beam microphone due to the number of elements and the size of the array. Besides, it is difficult to wake up the keyword when the device sounds with acoustic echo cancellation. The microphone array Beamforming technology can effectively enhance the speech signal and the speech distortion is small.

In this thesis, the microphone array signal is used to estimate the acoustic transfer function ratio for speech separation, and then Wiener filtering is used for noise reduction. In addition, acoustic echo cancellation is studied. The contribution of this thesis is summarized as follows

(1) This thesis first introduces related background and the domestic and foreign research status about speech enhancement

(2) This thesis studies an improved adaptive filtering based on the AEC module in WebRTC open source code. The PBFDAF algorithm eliminates the echo in real time. We research anti-gradient blasting the NLP and the NLMS algorithm. The purpose is to remove the residual echo, so that the double-talk detection can be omitted in the algorithm. Experiments show that the acoustic echo cancellation algorithm can achieve good results.

(3) We combine the LCMV beamforming and the multichannel post-wiener filtering algorithm so as to speech separation and noise reduction with the minimum mean square error criterion. The LCMV algorithm is used to remove the interference signal to obtain the desired signal. The Wiener postfilter is used to remove the residual noise. The calculated post filter coefficient causes the distortion of the desired signal. A balance is achieved between small distortion and the less introduction of background noise. Experiments show that the method studied in this paper can achieve good results in speech enhancement and improve speech recognition rate

Key Words Microphone Array; Adaptive Beamforming; AEC; Far-field Speech Enhancement

目 录

^ ?±.....	I.
Abstract.....	II
1 5 Aê.....	1.
1.1 F9NÈ, '6ü Ÿ ú ? y	1
1.2 TÖ {NpLe G ° _.....	2
1.3 ... ¶0; ú.D0!)à(æ	2
1.3.1 # • @ '	2
1.3.2 B N#Gý W ð#{.....	5
1.3.2 \$À Ê }	6.
1.4 \.5 ' 1 Â	6
2 -(£6ü Ÿ. Aö	7
2.1 ' 4*6 – *.p	7.
2.2 #,L"6ü Ÿ. Aö	8
2.2.1 8 F2 Ä% # ~	9
2.2.2 LMS1Ç#	9.
2.2.3 NLMS1Ç#	12
2.3 TÖ {NpLe G \$À#{ A1Ç#	13
2.3.1 P5 Ba `AÑ#	13
2.3.2 Capon0 ? é 1Ç#	13
2.3.3 MUSIC1Ç# #{ A	14
3 – #,L"	17
3.1 * ¾ WebRTC, ' AEC 1Ç#	17
3.1.1 1Ç# 1° û	17
3.1.2 AEC1Ç# #q0;.....	17
3.1.3 F 1 ¼F 1 ' & &)U€	19
3.1.4 MŽ4ĩ W 4*¶(NLP).....	20
3.2 iF 1Ç#	21
3.2.1 6 ‡NÁ 8 F2 Ä% # 1Ç#	21
3.2.2 6,, 8 0 H NLMS 1Ç#	22
3.2.3 iF 1Ç#	23
3.3 W7-Aô `	25

3.3.1	ÎP¼ ‘ &	25
3.3.2	ÎP¼# ’	26
3.3.3	ERLE ¼ SER#{B	27
3.3.4	, 0 F aG}}·	28
4	iF LCMV 5 8 WPF# • @ '1Ç#	31
4.1	# • @ '1Ç#	31
4.1.1	# • @ ' 0 H sGý. Gÿ	31
4.1.2	MVDR1Ç#	31
4.1.3	LCMV1Ç#	32
4.1.4	GSC5 ´	33
4.2	* ¾ LCMV ¼ >5Ž% # ,’# • @ '1Ç#	34
4.2.1	iF ,’8 F2 Ä# • @ ’	34
4.2.2	B N#Gý W ð#{1Ç#	38
4.2.3	B\$B ê3R E.....	41
4.3	W7-Aô `	41
4.3.1	ÎP¼ ‘ &	41
4.3.2	ÎLu ...N# Î j	42
4.3.3	B N# 6/ë7- ÆAô `	43
4.3.4	EÃ * ¢ š" Aô `	44
4.3.5	Î jB N# MOS I	45
5	Aê.....	47
ò 63	·)^	48
8\$	BR.....	52
WF *6	W – – }Aê ·(x s ¯+X , s –	53

1 绪论

1.1 选题的背景及意义

B N# Ô Â _ ê º7- 08 'f, ' Ô Â é ? È • a _ Y+XB N#AÙ j ~ \ ò ê *, ' 7
È Š * -(Ä, ' ý Œ È p º7- x ° _ 0F , & È ê < K Š ` x 7 (™ Ä j ¶ \$ Ð
ï § ¼ \$ Ð ê W F È P5 , ' F jAö [¼ 9K^ ý Œ ! " F @ ! • > Û F jB N#Aö [p / È f6 < X
F j ò â ; È " º ê / è TÖ { Np, ' D / è Eî ` 5 2£+J8# \$ F , ' & I È TÖ { NpG ÷ L ö ` , ' B N#
' 7-Gÿ 6 W W > ÿ È " F ¢ ¼ š • , " G ý a-() Î Ð È = Š -(£ 4*6-\$ Ö+X • Aö [
x ì a J M Ž h Ä F È f TÖ { Np 3Aî ¾ º7-N#1á : & È Aî 7 \ D Û 9 ! " X Ý n N# € , ' &
I È F a M 0 ? ± Y + X - # , L " ° _ • # , L " |] , ' È ! " . D 0 ! F j B N# Î j a
n Ç q 6 9 ö ? ± Ä
X : F4Ú › q ¢ È ê a 6 TÖ { NpLe G ° _ Ä+X ` B N# 4*6 . D 0 !] Ä ` ¶ 2000
¤ J + | 0 û ' ' \$! • `) TÖ { NpLe G -(£ ° _ F > | C N È . D 0 ! Ä º7- æ u F Z ² % " 4ÿ
* 9 q J ¢ ¶ È + a ¾ ° _ , ' L € f ¼ 2 j M 0 " r , ' İ È 0-\$ Ž ¾ ? G 1 J È -\$ (™ 6 , 5 • &
, ' ` • È 2 j , ' j % ð ¼ x ñ M 0 " r ± W ` Ø Ø ¶ -(£ ° _ , ' F ... ÄLe GB N# ' Î j k
? ± 5 [T G 6 Ö # • @ ' ¼ • # ` Eî ` AÑ Ä # • @ ' ° _ ¢ Z 3 + 5 , ' h ó G 6 È F J E ÷
• @ ') 4 D Le G ' , ' Ð s F > | 0ª % # 4*6 È p 6 < Î j - 7 é A ' È z a ! ³
é A , ' ¢ ¼ š ^[1] x ² ì i @ 8 F 2 Ä # • @ ' F 7- O i ž \$ Ä } 5 ž , ' i F > | 8 Ø D
D Z È F g 0 • a 7- O 8 F 2 Ä B 3 8² 4 Z Ð s € • Î) à 8 F 2 Ä Î j Ä 2014 ¢ È P œ F : º7-N#
1á x ñ Echo ! " ? 3 È 3 W L ĸ ! > , ' B g ! | < 2 « x ñ Home Ä Ü L , ' È N # 1 á Ä Rokid œ (
, ' x ñ 9 * Z Ä Lo G ü œ (, ' Y) [2 î & ¥ ú ? 2 £ , ' A I N # 1 á • -(5 3 È ! D K 0 G Ÿ E³ - Ä F
` Ç N ¶ x W B N# ° _ E ö F O F • " A + X 4 x x ñ , ' Ä + X 9 3 + ¢] Ä
• @ ' (Beamforming BF) 0 + X ¾ F J Ä M ' Eî Ä € Ä ` M 7 Ò ú k - N ¶ È !
Ç ` ¶ ` # Ä + X ¼ E³ , ' ... ^[1] Ä f ' f F • _ + a • " u , ' . D 0 ! B . N È È ! (© & é _ F 2 + X ¾ í
V ' È Î j - 7 B \$ B ê ' È Á f š ¼ ¢ ï ¾ > 1 , ' B N# Aö [Ä ¼ P 5 , ' TÖ {
Np-(" È TÖ { NpLe G G ÷ L ö ` , ' ' § 7 ¶ 0ª ÿ È = ½ 80ª Ä & Ä N Á Ÿ § 9 \$
Ð & ¥ # k , # • x f 7- È È Q ' Î , ú È ± j , ' ¢ Á f 7- È È 0ª L \$ 6 E Ø) • Eî ` 0 Z
, Q , " d ö ^[1] Ä 5 , 8 ¶ F È H & é È ê 6 TÖ { NpLe G # • @ ' + X ¾ º7-B N# F J 3 + 5]
} 1 ' 4*6 G 6 È j F 6 W W i ` B N# C X G Ÿ È p 6 < Q B N# Aö [ö . ž) • Ä
. D 0 ! F j ò â ; , ' B N# Î j È Y + X ? j (TÖ { NpLe G , # • @ ' ° _ Î) à È Y
+ X Le G ' 5 [, ' 0ª L \$ Ÿ Ä & Ä N Á Ÿ F > | = < F f , ' . G Ÿ Ð s È) - 7 B N# F

>|Îj È) ç ¼ š F>|9 x, 'Á f ÈF a _# • @ ' ° _ Ä# • @ '1Ç# 9 Í ž)
 B' = < 6 j * ¾ é A `AÑ, '8 F2 Ä1Ç# Ä * ¾AY4ó ' F ò63 ', # • @ '1Ç#
 ú * ¾ '5 ', # • @ '1Ç# Ä * Ê# • @ '9 0/ý Š# _1° ..., ' &F "r ¼ ½ -(
 Ð È v _ Î j7- È 9L€ È 8 F2 Ä# • @ ' _ i ž = <, ' ö IAîAÑ, '1Ç# È 7- O Î &B3 ð
 sGý3+ • Añ f (` 0 H@ È \ · k?± Y+X8 F2 Ä# • @ '1Ç# Î)àF j ' & ;B N#
 Î j Ä

1.2 麦克风阵列技术

TÖ {NpLe G - _ ² % j P ~Le G È a _ Y+X T Z F : N# P O ~4ô @, '
 -0ª G ÷ g3+5 Ä h?ñ, '94i ' Ä)ß ' ¼ *3 'Le G È ª7-N#1á žF}G ÷ +X)ß 'Le G Ä" ²
 2014 ð ÊPœF: 3, ' EchoN#1áG ÷ +X+1)ß 'TÖ {NpLe G5 ' È Ü L 3, ' ÊN#1á •
 _)ß ' 6TÖ {Np5 ' È!" FF 9 Y)[2î&¥ Ä ?2£, ' ?(aN#1áG-G ÷ +XTÖ {NpLe G5 ' Ä
 TÖ {NpLe GL" ¶ Ä+X X ª7-N#1á : ÈF +X ¾ ª7+e?ö Ä j ~ ê ú"-E- : È j
 X :F j Ÿ jF j õ å ; ...TÖ {Np, ' pL€ a J n)à * • Ä#, Ci4xTÖ {NpLe G 08\+X ¾ æ
 Ý j È f < & ^ X J ZB\$B ê ÄD /ë" E³F D)ß ³ 8 r & È A Y+X8 F2 Ä# • @
 '1Ç# Î j- 7B\$B ê B N# ' È Á f ç ¼ š Ä4ÿE ÷ }1 ' 4*6 È ª7-N#1á F !
 ³ ª7- æ u a7- OE« CAö [*- 7B N#, ' µ é È p6< Š *) Ä, ' ý Æ È" ²5 • :C](™ F
 65 Y"D B ÄF /ý ª7- é ? ± W ` é i ¶ ê , ' h+O#k È • @ j f } ª7-N#1á' †, '
 0 W Þ&é Ä

f N# P O ~D /ë \$Ä" E³F & AÔ j # _ 3M'# ÈF ZD /ë+X4ÿP¼ œ ?
 T Ý È4iLe _ Le G kL\$D £ é ¼ z# K, " I Ö j ò63 Ä XF j Q » ; È 4FJFf Ö f
 ', ' u Ö 2 = -+• ÈF & \$Ä#{ A < &M0?± Y+X u Ö 2 ¼ -(} 2 Ÿ Ä f P
 O ~ ¼ \$ÄD /ë W ¾ ò63 I & È AÔ j # j £M'# È X#, Ci4xTÖ {NpLe G ÎLu Ä+X
 j Ÿ j WG- Ö jF j Q » È ² X \$Ä#{ A j +X ` TDOA 1Ç# & a+X `F j Q » Ä+a ¾
 F j Q » ° ÎLu õ å Š ¶ 1° F È L } ~ ¶ 4*6 = r Ö ÈF • _ 08\, 'B N# Î j1Ç# G ÷ +XB
 Q », ' k?± Î Ä

1.3 发展历程及研究现状

1.3.1 波束成形

8 F2 ÄLe G ' 4*6F 0*6Aê 0 F-\$ß ` 20 F4Ú60 ð Ä B. Widrow X 1967
 ð * 0 ? w é (LeastMean Square, LMS)8 F2 Ä1Ç# [2] Ä ` 1970 ð È ‡ ' 4*6
 *6AêÖFO ..È 9 , J C æ ¼ -65#¼ • `B N# Î j1Ç# # .D0! È f'f X!" { } • 9 A .D

0!65 * ¶ * \, ' Î j 1 Ç # ö I Ä 1969 ¢ È Capon * 0 ? é a - O ý Ä (Minimum
Variance Distortion-less Response (MVDR) 1 Ç # [3] È ! Î * 6 _ Añ - 7 é AB N # a - O È
- V š B N # ' E ã * k Ì) . 0 ? È X 4 Ö • ' & ; " r @ Ç ` L } š B N # ' [3] Ä
8 F 2 Ä # • @ ' < - f B 3 ¢ s G ý . G ý È ² Ì O K ' é A ` A Ñ = ö J , 8 \$ B N #
Î j W 7 - U — ; L } È j ¶ { = F 0 : 1 È 0 8 \ Š # _ M B Î Ð Z 4 Ö • ' & È 1972 ¢
Frost * 4 İ W 4 Ö • 0 ? é (Linear Constrained Minimum Variance (LCMV) ö I [4] È ! *
\ Î * 6 _ X 4 İ W 4 Ö • ' & ; Añ ' k E ã * İ) . 0 ? È p Î * 6 @ Ö • - ; B ö II " - _ + a
} M ' ` E ÷ , ' M V D R ö I i F Ç ` Ä 1982 ¢ Griffiths ¼ Jim X LCMV * . p : E • L k Ž
. Le È * 0 / ý - y ñ + - (# , ~ (Generalized Sidelobe Cancellation (GSC) [5] Ä ³ _ # • @ ' 1 Ç
, ' 0 / ý § f Î) à 5 ' È ° V 4 Ö • 8 F 2 Ä s G ý . G ý E œ F j 4 Ö • 8 F 2 Ä s G ý . G ý È
F g Š , ' - 4 _ L } ~ A Ñ 1 Ç 5 \$ Ö È ÿ ? F 1 Ç G ý È F - } w 2 . Le " r F 6 È p - # Ä + X ¾ 4 / ý
Le G ' 4 * 6 3 + 5 Ä - + X : 1 Ç # 4 * 6 > ý ^ X ! » + % š @ 6 È j ! " Zelinski X 1988
¢ * : F 1 Ç # * . p : Î Ð > 5 ž % # , ' 1 Ç # [6] È 3 W Ö - p McCowan ¾ 2003 ¢ > ~ ¶ 0 1 ÷
i F > 5 ž % # , ' . 1 [7] È x Ì 0 8 \ È p Î Lu Ä + X • - ; F 9 = A L N È Ä
` ¶ 2000 ¢ , ' & I H. Saruwatar * 0 / ý J ,) é A W ¢ , ' 8 F 2 Ä # • @ ' 1 Ç #
[8] È Y + X # •) ö - 7 B \$ B ê 6 < Á f ¢ é A • Î) à B N # Î j Ä 2002 ¢ Cohen ¼ Berdugo
* 0 / ý 0 ?) Ba a - O , # • @ ' 1 Ç # [9] È Y + X G S C 5 ' Î) à È B 1 Ç # • F 2 + X ¾ M Ž
£ 0 c š) ß ³ È v _ 5 j & é _ 5 ' = r D ö @ ã M Ž £ 0 c 6 ü Y š Ä < 0 ¢ R. Bala ¼ J. Rosca
* ' ` A Ñ 6 @ • Î) à # • @ ' [10] È " r ~ F J V ¼ 0 ? - (} T / ý Q ? ; ' , ' = B Ba È
{ > Ö 0 Z < 1 % # ~ F 6 5 + X 0 £ 5 \$ 4 ä % # ~ Ä 2003 ¢ Z. Yan ¼ L. Du * 0 / ý X 0 +
Ø 3 + 5] Y + X ü T Ö { N p Î) à è \$ ' ý ¼ L } š , ' 1 Ç # [11] È v _ \$ ' ý E ³ W & x Ì • Ä < 0 ¢ È
J. Cho ¼ A. Krishnamurthy * 0 / ý F 2 + X ¾ 0 + Ø E - E - 3 + 5 , ' Ba - (ý ¼ # • @ ' 1 Ç # [12] È
< - f è L " 0 È , ' 6 ü Y š È v _) B N # V • , ' • _ = = W • T È E • = A N # €
š È U G ý ; ý ¶ B N # A ö [Ä C. Choi X 4 ý " & F -- (Ð * . p : i F * 0 / ý 8 F 2 Ä G S C 5
' [13] È Î P ¼ A ñ > X \$ ' ý & L \$. ¼ E ³ Q š " õ å ; B N # A ö [9 ¶ ; Q È v _ B é #
D / è Î Lu Ä + X F 9 0 ! à = ? , ' D / è È T Ì X F j ' & ; i \ = F 2 + X Ä 2004 ¢ T. Sekiya
¼ T. Kobayashi • _ p Ba - (ý 1 Ç # 9 ç Ç _ [14] È X ! " * . p : i F ¶ š ` A Ñ 1 Ç # È v _
Í M ' d E • N # € š , ' L N È Ä < 0 ¢ I. Slimene * 0 / ý Y + X ? # ' ¼ J ? # ' ,
' * ? ò # { é 0 ; ! " r @ Ð s 3 + , ' 1 Ç # [15] È Î D % A ñ > Î j x Ì 9 i ' È v _ = > n Ä 2005
¢ D. Halupka * 0 / ý X ~ š " ' & ; Y + X T Z T Ö { N p Ö f ' , ' ' - (} Y Ä Î A Ñ
% # ~ • Î) à Q š " Î , ú , ' é # [16] È v _ Î P ¼ A ñ > • õ õ 7 - Q š " È) ¢ ¼ \$ '
ý " Ñ 9 z a È p) ¾ > 1 B N # A ö [x Ì Î C X w Ä 2006 ¢ » Ü M N * € V 8 F 2 Ä #

• @ ' 1Ç# ëL")ß ³ š Î)àB N# Î j ÈB é# X GSC 5 ' { >, '% # ~G 6 Î Ð €
V 4*6 G 6^[17] ÈXE÷G÷ gl" VB3 fE÷%NÁV • Q ~NÁ V È< &F } ¶ ∈ V {L\$, ' ¢ È
ø Y+X ¶ ∈ V £ w-(£ - x f JFJFf š ëL"\$' ý ÈÎP¼Añ >B é# " 08\ é# L} š
x Ì - Ä 2007 ¢ D. Halupka,1y * ¶ 0/ý ~ Ĭ6G üTÖ {NpB N# Î j1Ç# ^[18] È X 5F0;
FkEÁL Le ÇField Programable Gate ArrayFPGA):+X ‡ ' 4*6 ~ (Digital Signal
Processor DSP)Î)à È < &F 9 \$À#{ A Ĭ7- È Y+X = <D '-(} AîAÑ% # ~ Î)à
Q š" Î,ú È k?±FJE÷ Añ ~ š" @ 6EÄ * Ĭ). 0 ? • Î)àB N# Î j, ' - , ' Ä 2008
¢ M. Gupta ¼ Scott C.Douglas * 0/ý Y+X 8 TÖ {Np ' 8 F2 Ä-(£3+ 5 8 € V 6
@ , ' é# • Î)àB N# Î j ^[19-23] È Ĭ j 5 +X Ō f ' & -(£(© ± Ĭ 6@ • AîAÑ% #
~ È Y+X * ¾ ' 0ªL\$ 6@ , ' Ĭ*6 ëL"6ü Ÿ š Ä < 0 ¢ È »E' ¼ H £ * 0/ý 0Lf
6TÖ {NpLe GB N# Î j, ' é# ^[24] È k?± 6 9 Zi•PÔ ÈOÆ x _ Y+X `Eî &L\$ (Time Delay
of Arrival, TDOA) - * È &F ò Ç ` 8 F2 ÄB3 ¢ x !!Q Y+X 6Le G (Different
Microphone Array DMA)F >|AÑ1Ç È k?± Ĭ*6 _ * ¾ 0 ? w é Ĭ ~NÁ>• - x 0 > _ Y+X
>5ž% # ëL"!» %o š Ä 2010 ¢)» ÜMN ÄG £Cµ ¼ d#È * 0/ý í V# • @ 'B N# Î j
1Ç#^[25] È x+X ?# ' 6@ % # ~4ô 6 V 9 š , ' B N# ' ' ' ?# ÈEÄ * ?# 3+
È Y+X GSC5 ' Î)à È 0 > ½ Y+X ?# 8 @EÄ * Ä < ¢ È Chih-Chia Yao * 8 F2 Ä
\$' 8% # ~ ^[26-28] È £ ?# % # 5 8Ba-(Ÿ1Ç# È ...) -+XBa-(Ÿ & =F2+X ¾ ~ š" õ
å È6< DF C E •N# € š È ...) Y+X ?# ')Q NÁ ' x ĬE³ È Æ655, 863<• {
> Y+X 0 Z }5ž Q2ú/Ž4Ÿ5•5 6 T65 9 x5 8 Ä
2011 ¢ ÈPœ fM * 0/ý ¼5\$)ß 'TÖ {NpLe GB N# Î j1Ç# ^[29] È Q ¶ 8 F2 Ä#
• @ ') •# é A (Direction of Arrival, DOA) `AÑ ÈB 1Ç# k?± Y+X ¶ NÁ).6š 8 ° _ -
NÁ XFJ V µC» ¾0' V È Ÿ ? ¶B N# a-O Ä 2014 ¢ S.Mirsamadi ¼ John H. L. Hansen
* 0/ý 6 3 ?F jB N# Î j ¼ Aö [1Ç# ^[30-33] È k?± Y+XMŽCO. Le ¼ PGŸ 6@ § Î)àL}
š ¼ è\$' ý È XAÑ1ÇB Ba . & ø Y+X :00+¿>~j Ä 2015 ¢ »UÉ ¼ ¾ U ¼5 8 GSC ¼Ba
-(Ÿ Î)à# • @ ' ^[34] È > žFJBa-(Ÿ1Ç# " 9 0 È, ' i ' Ä 2016 ¢ Y. Huang1y * 0
/ý Y+X T ZTÖ {Np `AÑ >5ž% # 3+ F >| Î j, ' 1Ç# ^[35] È Ĭ+X 0 ? ¼ ^# "r@ ÈB 1Ç#
9 T W H&é È 0 _7- O@ ā&é ¢ \$À x ¼ _ X p 9TÖ {Np] + "r 0 ? ¼ ^@ Ä 2017 ¢
O. Schwartz ¼ S. Gannot * 0/ý F2 8 ¾ J ZB\$B ê, ' * ¾ LCMV # • @ ' ¼ >5ž5\$4ā
% # , 'B N# 6/ë ¼L} š1Ç# ^[36-41] ÈB 1Ç# Y+X4i W4Ö • ú `AÑ, ' J ZB\$B ê ` = <TÖ
{Np, ' PFB - " • 6/ë = <B\$B ê, 'B N# È { > Ō 0 Z >5ž% # • ëL"!» +%o š È Î
P¼Añ >B 1Ç# X ¢ Á f ¼L} š éM' x Ì , - È7- w 10-15dB ¢ š " (Signal to
Interference plus Noise RatioSINR)Ä

1.3.2 语音重叠帧检测

B N#Gý W a _ J Z ê X < 0 W & kB\$B ÈM0?± Y+X1Ç# ® * ... \$À j ¼Gý W
j ÄF XB\$B ê 6 ¢ ÈB N#Aö [¼ Î j]4ÿ h>Û+X` È • _ ,Gý?±,´ 0!• Ä 1998 ¢ È
R. E. Yantorno >~ 01÷ £ ¾.D0!Gý W ð#{ ¼B\$B êAö [,´ .1 [42] È Y+X4i WN´#{
BBa3+ (Linear Predictive Cepstral CoefficientsPCC)•.ž È 9 xB\$B ê È ! * 0/ý
à é# F >| 9 xB N# FB N# Á f Ä 2000 ¢,´ & I ø * 0 Z ² % Ba-(£ Bg"
(Spectral Autocorrelation Peak Valley Ratio, SAPVR)^[43] È Y+XB ò)Gý W ¼ ...N# W
F >| T Ý ¼ 6 À Ä2001 ¢ Ananth N.Iyer ¼ R.E.YantornoX Ĩ x *.p : Î Ð! » " 1Ç#
F >| ...N# W j - -" 7Aà,´.D0! [44] Ä > • ø iF ¶ SAPVR1Ç# [45] È x Y+XBa £
- Ö ® *#zN# W È ½"r SAPVRÈ ÎP¼Añ > ...N# W,´ 5 Ì .x)à z!" V> ÿ È6<Gý W
,´ 5 Ì .C» ¾ £ - Ä 2002 ¢ Ananth N. Iyer ¼ R. E. YantornoX Ĩ x é# :F >| ¶ iF È
Ð •4i WN´#{5F.1,´!•PÔ [46] Ä2004 ¢ ø * 0/ý Y+X4i W T [6 Ä 4i WN´#{
BBa3+ (© ±,´1Ç# [47] È { >5 8Q ß\$' 8 Q »)B N# WF >| 62« Ä2006 ¢ M. H.
Moattar ¼ M. M. Homayounpouj. x * Y+X#zN# W,´ * ~ O ë `AÑB N# W _ V jGý
W [48] È AÔ jF È#zN# WGüM'NÁ x)àmŽ ~ O,´ _Gý W ÈB é# AÑ1ÇGÿ ? ÈFO Ö
È v ö.ž)· =Q Ä < 0 ¢ È Robert M. Nickel ¼ Ananth N. IyerF >| ¶ ...N##k Ø j
(Exclusive Activity Period, EAP).D0! [49] È È y ¶ ¢" F 0 ² % ÈAÑ1ÇB IF >| T
Ý 6 À Ä

2007 ¢ Ananth N. Iyer ¼ R. E. Yantono * 0/ý1° ... é# F >| - -"B\$B ê3R E
[50] ÈB é# * ¾D /ë ÈOÆ x *0û T Z ∈ Q »+X • >~ = <,´B\$B ê Èf > Y+X L ∈ 0 ?
D /ë 6 ∈ Q » iGj} ` T Z ò63B\$B ê Ä { > ø iF ¶ B 1Ç# È x.ž ÈB\$B ê - È
'f > ~+X!» " 1Ç# (Residual Ratio AlgorithmRRA)F >|Gý W ð#{ Ä 2012 ¢ È Arnaud
Dessein¼ Arshia Cont ~+XMŽCO. Le 6@)Gý B N# WF >| ð#{ [51] È XN#NÁ#qF >|3+5
6@ ` &L\$ Q ~ { } xF >|7a j - • ÈB é# 5j&é _ 6@ &5j • x f È £ 6@ ,´00+¿ W
¼ ² ... È],´L NÈ Ä2014 ¢ Ananth N.Iyer ¼ R.E.Yantornoø Ò0! ¶ MŽ ò Q » ¼Q ß
\$' 8 Q » •F >|B\$B êAö [,´ é# [52] ÈÎP¼Añ >B é# X ~ š)ß ³ ;7- O 9,® 6 { 3 q
,´ ö.ž)· Ä a X < 0 ¢ È N. Shokouhi1y X ... Ff JB\$B ê j Ÿ ; * 0/ý ∈ VB N# 4
*61Ç# [53] ÄB é# Y+X Gammatone% # ~4ô 6EÄ •B N# 6 @ J Z ∈ V ' È% # ~EÄ
* ½4ÿE÷ % V-(¢@ B3 > ~FJ% # \ ` * V È ½ Y+XNÁ)·B3 f Ç ` J Z ' Èf > 6 [
48 Š8 -(£ Ç ` Gammatone ∈ VNÁ)·B3 fBa(© ± È Æ65FJE ÷ È y 0 Z% L} ∈ •
j 6 ...N# W ¼Gý W Ä2017 ¢ Maoshen Jiaý * Y+X J \$À È }1Ç# • Î)à ...N# j

ð#{^[54] È Y+X &NÁ]B N# ', '00+¿ W ÈM•00+¿ @ 6 6 ÀF >| J \$À Ê } ÈFJE÷
Ê } • j 6 = <, 'B\$B ê ÄB é# X ê ^NÁ4qC Ø & J a x È ÎLu Ä+XE³Lî Ä

1. 3. 2 声源定位

* ¾TÖ {NpLe G, ' \$À Ê } W f : 6 j ; 92« ÖI\ 02« _ * ¾ 0 WEÄ * Ì).
, ' x# • @ '1Ç# Ä% # > Ð s"r ¼ È-\$ Ö x fLe G 7 A 0 Z7- O ¯# • § 9 0 WEÄ
* Ì), ' é A Æ\ ¼2« _ * ¾ `Eî &L\$, '1Ç# ÄÖÆ x"r * \$À ` 4D TÖ {Np, ' &L\$ È
'f >+a &L\$ AÑ1Ç *D /ë Èÿ T ZD /ë X 95\$0ªL\$Gü.ž Ê 0 Z ü "M' È J)D /ë
FJE÷ L3R F65 Aö .ž Ê \$À, '0ªL\$ }5ž È³ G- _ TDOA 1Ç# x\ 92« _ * ¾
Q 6EØ).Ba `AÑ, ' Ê A1Ç# Ä"r@ TÖ {NpLe G 'L\$-(£. Le • Ê * é A@ È Ö-p Y
+X | ¾1Ç# "r * \$À `TÖ {Np, 'D /ë Ä \$À Ê } 9'— 7 \$À, ' - 6 j ... \$À Ê
} ¼ J \$À Ê } Ä 9'— Ê }, '±"r 6 j \$À Ê } ¼ \$À#{ A Ä \$À#{ A ö ö7- `AÑ
Ç ` \$À p X, ' é A È6< \$À Ê } Ç ` § f0ªL\$ }5ž Ä
Eî é A `AÑ a _ i ž G÷Lö ` , ' ' `AÑ * é A@ Ä1960 ¢ Èê a 0 û ¶# Eî é
A(DOA, Direction of Arrival), 'D0! Ä »² È 1979 ¢ ÈSchmidt1y * ¶ JGý ' 62«
(Multiple Signal ClassificationMUSIC)1Ç#^[55] Ä

1. 4 本文结构安排

\ .) #,L" ¼B N# 6/ë é# F >| ¶.D0! ÈAê .5 ´¹ Â²; Ö
(1) 1\ 01 k?± û4ý ¶F9NÈ, ' ? y Ä -(£ ° _ , ' ... ¶0; ¼ - µ F .D0!)à(æ Ä
(2) 1\ ¼1 û4ý ¶ ' 4*6 *.p +X ` , '-(£ œ ? ¼²). Aö Ä - #,L" 1Ç# ¼
\$À#{ A1Ç# Ä
(3) 1\ 91 B F WebRTCGü - #,L"1Ç# Ä \ .D0!, ' - #,L"1Ç# ú
ÎP¼ ¼5 Aê 6 Ä Ä
(4) 1\ 1 B F P5 # • @ '1Ç# Ä \ .D0!, ' * ¾ LCMV ¼ >5ž5\$4ã% # , ' # •
@ '1Ç# ú ÎP¼ ¼5 Aê 6 Ä Ä

2 相关背景知识

2.1 信号处理数学基础

(1) $Q \beta 63 \bullet ! " 163 \dot{E}^3, 'B + O \zeta, \acute{u} \frac{3}{4} W = U > U >, ' \zeta - Y \} - \approx \tilde{A}^{(TM*6 - \approx \tilde{A}5 \tilde{A} \tilde{N} - \approx Q \beta \tilde{A} > Q \beta 63^2) \cdot \ddot{o} \ddot{O} - - (\pounds, ' 0 ZG\acute{y} ? \pm \hat{E}^*6 _] \acute{o} \pm L \in \hat{E}^*6 \dot{E}^3 > \sim F j \ddot{O}) \frac{3}{4} + ? 63 \dot{E} f \acute{I} g g \backslash C\grave{a} O W \& \grave{E} G - L \in FIF \frac{3}{4} Q \beta 63 \tilde{A} Q \beta 63, ' ^2) \cdot \ddot{o} \ddot{O} - j$

$$f(x) = \frac{1}{\sqrt{2\pi}\sigma} e^{-\frac{(x-\mu)^2}{2\sigma^2}} \quad (2.1)$$

!] È x j - 8 Gÿ È μ j - O K È σ j - é ÄQ β ²) · ö Ö - , ' " 4 i x) à
* J l ' È p ø > Û @ j J l ' " 4 i È f μ = 0 D σ = 1 & Q β 63 a @ j ¶ ! " 163 Ä
E •. Le Gÿ > = Q β ö Ö - j

$$N_c(x; \mu, \Phi) = \frac{1}{\pi^N \det(\Phi)} \exp((x - \mu)^H \Phi^{-1} (x - \mu)) \quad (2.2)$$

!] x _ Q β L ç j. Gÿ È μ j ³, ' - O K È Φ j ³, ' ï) · Ba ö Ö. Le Ä f 4 β ð B N #
' s œ j Q β L ç j. Gÿ & È ? (2.2) a j

$$f(s(p, k); \Phi_s(p, k)) = N_c(s(p, k); O, \Phi_s(p, k)) \quad (2.3)$$

!] p > ~. & £ 0 c ' & ; 1 \ p W È k > ~ / j N Á 3 R E È Φ j

$$\Phi_s(p, k) = E\{s(p, k)s^H(p, k)\} \quad (2.4)$$

: ? a _ 4 β ð B N # ' , ' ï) · Ba ö Ö - . Le Ä

(2) Woodbury. Le œ ? _ Maz A. Woodbury - = , ' È ³ 60 j k , ' -(£.
Le, ' F6. Le > ~ / j j 0 j k , ' ï û. Le, ' F6 ' , ' 4 ô 8 È £

$$(A + UCV)^{-1} = A^{-1} - A^{-1}U(C^{-1} + VA^{-1}U)^{-1}VA^{-1} \quad (2.5)$$

!] È A . Le _ n > | n G È U _ n > | k G È C _ k > | k G È V _ k > | n G Ä

$$\begin{aligned} & (A + UCV) \left(A^{-1} - A^{-1}U(C^{-1} + VA^{-1}U)^{-1}VA^{-1} \right) \\ &= I + UCVA^{-1} - (U + UCVA^{-1}U) \left(C^{-1} + VA^{-1}U \right)^{-1}VA^{-1} \\ &= I + UCVA^{-1} - UC \left(C^{-1} + VA^{-1}U \right) \left(C^{-1} + VA^{-1}U \right)^{-1}VA^{-1} \\ &= I + UCVA^{-1} - UCVA^{-1} \\ &= I \end{aligned} \quad (2.6)$$

Y + XF @ ! • - (# , # F • " r @ P ¼ A ñ B œ ? _ ! " . ž , ' Ä

(3) . LeF6 E*6 œ ? È wAî)à 9. Le œ ?

$$A = B + CDC^T \quad (2.7)$$

FÓ x 9

$$A^{-1} = B^{-1} - B^{-1}C[D^{-1} + C^T B^{-1}C]^{-1}C^T B^{-1} \quad (2.8)$$

. LeF6 E*6 ~# Ä+X ¾ 4/ý1Ç# Ø ,] È" ² ' D ,% # ~] a+X `B 4 È \ .1\

1 •+X `!" œ ? Ä

2.2 回声消除背景知识

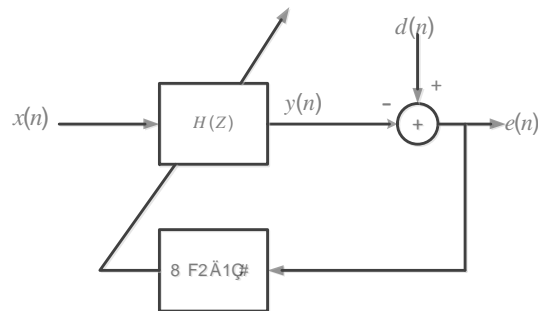
#,L" 6 j – #,L" (Acoustic Echo Canceller, AEC) +eD #,L" (Line Echo Canceller, LEC) >65 k?± _ X Ô ' jFJ ° Ò g1 9 0 Z ¼ 4iEœ ' & x+O È4iD 6V 8 iG} J ,8\$+X g X f+eB & p œ ~ \ `8 !, ' N# È6< AEC 08\ _ X f *B & f 0 } È N#4ÿE÷ oL\$ â + ý Ä ½!Q>ÛTÖ {NpG÷Lö pF 1 P • Ä AEC " LEC D ' = r È-() \$Lî ëL", '(©&é È ëL" 9.œ & 4*6 ¼Eÿ & 4*6 T/ý é ? Ä #,L" ° _ *8ç, ' W7- "4ÿ @ Ì ¶ O, ' Á f ° _ È Á f 0 F-\$ß ` : F4Ú 50 ¢ È f & , ' k?± 7, ' _ > OFJ]E³K, ' ' &F Ä-\$` 1960 ¢ #,L" p AT&T CM D ÎP¼ Ô 0 û ...C\$ • È ` ¶ 1970 ¢ È+a ¾+e €>| J ° _ "d £ L€ f ÈB ° _ ! "Ñ 9 v+XC\$ • Ä Ö-p AEC +X ` ¶ VoIP Eÿ & ¼N#?öNÁ JAP3+5] È X \ ` 1 TÖ {NpG÷Lö `F 1 ' ÈF é P • , ' _F 1 ' È fF 1 ' P ` \ ` È { >4ÿE÷ œ ~ Ý n < \ `B\$B êB N# 0 <>ÛTÖ {NpG÷ Lö ` È f &F Eî ` 0 Ê0; Ö & È P5 F 1 ÈF éB\$B ê a J \ ` 5 [8 ! { }B\$, 'B N# ÈF a _ Ä #,L" 0 j h+X, ' 9 0 ? w é (Least Mean Square(LMS)1Ç# Ä , 0 F 0 ? w é (Normolized LMS NLMS)1Ç# úFB Ø 0 ? ¼ ^ (Recursive Least Square(RLS)1Ç# Ä- } ~+X 0 -, ' _5•N¥ Î &FJ 3+5 (Web RealTime Communication WebRTC) ° _Gü, ' AEC ÈBg!| 2010 ¢ fC] GIPS œ (> È 0 n ¶ WebRTC 0;\$Ä .1 Ä f AEC +X¾0+ Ø1 & È a @ j0+ Ø – #, L"(Acoustic Echo Canceller Mobile, AECM)

-Lu+e 6,- ITU-T G.167 7 ö 7 * È + ... #,L" ° _8# A Š ` 6 L} ~ 45dB Äv _ A . Ff £ `Eî `F Z 7 ö Èý 7- \ ` È _ Z 0 * \ , ' 7 ö È ITU-T G.168 *ApGü 9 , JAô ` #,L"3+5 W7-, ' 7 7 Ä wAîTÖ {Np Ö f ' 9 0 Z+e £ È " ² _ -3dB È ÌL} ~ 30dB l @ j -33dB Ä < ê6c7- \ , ' N# W ?, ' Ø 193 \$ _ 60dB È • a _B\$ öN«L} ~ 60dB }7- O - ê ¼ ~ \ = ` Ä ² l #,L" 30-40dB È _ °7- GÿL} ~ j s 6 { 0 È ê6cF 7- \ ` Ä

#,L", 'V í 6 @ 2« È1\ 02« _0' V Q ?NÁ)· Ö 300-3.4kHz x1\ ¼2« _ í VNÁ
)· Q ? Ö 0.05~7kHz x1\ 92« _Cµ í V Q ? 50~14kHz x1\ 2« _ ~N# Q ? Ö 20-20kHz Ä

2.2.1 自适应滤波器

0 Z * \, '8 F2 Ä% # ~ Ä § 9 . p/j5 ' È³ k?± 5 [TG 6 È £ % # ~ PFB -
 $H(z)$ ¼8 F2 Ä1Ç# Ä



. 2.1 8 F2 Ä% # ~5 '

Fig. 2.1 Structure of Adaptive Filter

. 2.1] w ÊEÄ • ' x(n) ¼ p O K ' d(n) _ í £0c, ' ÈFÓ x .] : zG 6 ¼5\$
 4ã% # ~ _ 0 g, ' È .], 'B ç G ² ; > ~ / j Ö

$$e(n) = d(n) - \sum_{k=0}^{M-1} h(k)x(n-k) = d(n) - \mathbf{h}^T(n)\mathbf{X}(n) \quad (2.9)$$

!] È $\mathbf{X}(n) = [x(n), x(n-1), \dots, x(n-M+1)]^T$ _ ž AGÿ ÈF & ß Ö AGÿ œ ? ² ;

$$\hat{\mathbf{g}}(n) = \frac{\partial e^2(n)}{\partial \mathbf{h}(n)} = -2e(n)\mathbf{X}(n) \quad (2.10)$$

+a 0L' ;L}# Ç ` Ð s3+ , 'F œ ? j

$$\mathbf{h}(n+1) = \mathbf{h}(n) - \frac{1}{2} \mathbf{g}(n) \mu(n) \quad (2.11)$$

!] È $\mathbf{g}(n)$ _ ß Ö AGÿ È $\mu(n)$ _F !•K- Ä

2.2.2 LMS 算法

LMS 1Ç# _ 0/ý1° ... D ~# Ä+X, '8 F2 Ä% # 1Ç# È _ X5\$4ã% # *6Aê :F +X 0
 L' ;L}# , ' H F & h Ä 0L' ;L}# Y+XF 7- O Ç ` 0 H@ ÈF } ¶-\$ Ö"r@ È v _ ²
 Ì =7-2Ì.ž. Ff ß Ö AGÿ • 6 # F Äp Èj ¶ +XF 1Ç# òN« `AÑ * ß Ö AGÿ Ä
 B 1Ç# 0 _ +a B. Widrow ¼ M. E. Hoff X 1960 ¨ *, ' È k?± M # _ Y+X-Ü &
 B 7-Gÿ / w éB 7-Gÿ ÈB 1Ç# =M0?±. FfEÄ • ' ¼ O K ', '5 AÑ(© ± È f }

& k, ' Ð s3+ _FJE÷ : 0 & k Ð s3+ ½ Ð : 0 ZCO w éB ß Ö, " »N© Ç •, '
^[3] ÄF /ý1Ç# ø>Û0 Œ Widrow-Hoff LMS 1Ç# È X8 F2 Ä% # ~] Ç ` ¶ ~# Ä+X È k
 ?± _ j ! § 9 İ *61° ... Ä ò A Ä f ‹FO Ö D C ¾ Î)à1y H&é Ä
 È y!•K⁻ μ(n) È 08\ j h μ È XF , ' & IF9+X È!• K⁻ é# " E^{31°} ... ÄF g 0
 • Ð s3+ œ ? a J @F g

$$\mathbf{h}(n+1) = \mathbf{h}(n) + \mu e(n) \mathbf{X}(n) \quad (2.12)$$

FÓ xF a _ LMS 1Ç# 04ø Ç ` , 'Gý?± œ ? ÈB 1Ç# ø>Û0 ŒL¿ j ß Ö# ÄF 0!•
 6 : ? i @ \$ Ð-\$ Ö, ' œ ?

$$h_l(n+1) = h_l(n) + \mu x(n-l)e(n) \quad \forall l = 0, 1, \dots, M-1 \quad (2.13)$$

M _% # ~, 'K⁻ Ö È n >~F , ' & k È l _% # ~3+ 1V ' Ä LMS 1Ç# k?± 6
 !• È1\ 0 _ M û F È 5 % # ~, ' M û l È% # ~K⁻ Ö ¼!•K⁻, 'Aî È Ä1\ ¼ _EÄ • ¼ â
 + ý Ä §0 Ç ` y(n) Ä1\ 9 _+a O K ' d(n) ¼ y(n) F 1Ç Ç `B ' e(n) Ä1\
 _ i ž ? (2.13) \$ à% # ~ Ð s3+ ÄGý=F !•-\$ % # ~ f ‹ Ç ` 0 H Ð s3+ Ä
 p :!•PÔ -; * È LMS 1Ç# õ õ Y+X ¶EÄ • ' x(n) ¼ O K ' d(n) È !"Ñ
 9 Y+X :EÄ • , '8 -(£. Le \mathbf{R}_{xx} ¼ Ä-(£ AGÿ \mathbf{r}_{dx} Ä pF •7--; *B 1Ç# F2+X ¾ =M0
 ?± xP¼ ÿ, ' j 8 Ä 0 éM' È+a ¾ ¾G÷+X, ' _F \$ à, ' é ? È p6< !•F2+X ¾EÄ
 • 'MŽ £0c, ' j ÿ Ä , i5 ÄF _ j 8 F2 Ä% # ~8 ! 9 -• ¼ F-DZ , '
 7- È ÈF /ý Œ+X _ X , 8 ' £ d(n), ' _ 1 ; } 9, ' ÄF øF 0!•Añ > ¶ LMS 1Ç# , '
 1° ... È² Ì) ¾ Î ž •B\$ È! ¼ @ 0!QF Œ õM0?± 2M+1!Q ^# ¼ 2M !Q Ð# È
 • a _ O(M)Gÿ4x, 'AÑ1ÇGÿ ÄF !" _LMS 1Ç# ~ j Ä+X , ' İ Ä
 LMS 1Ç# • _M0?± f ‹ ' &, ' È =fF \$ à J a x È8 F2 Ä% # ~ -• >
 D DZ a J aCU Ä+a ¾EÄ • ' x(n) _L¿ j ' ÈFÓ x Ç ` , 'B ' e(n) • _L¿ j
 , ' È³, ' £ é •% CäL¿ j ' È F g 0 • Y+X-Ü &B 7-Gÿ ' /B 7-Gÿ ' , ' O
 K • 'AÑ ß Ö AGÿ ĝ(n) È ÷ f J j ý % # ~ Ð s3+ $\mathbf{h}(n)$ f ‹ ` 0 H% # ~3+ , ' W
 7- Ä

6 ? (2.12) TEé < &"r O K

$$\bar{\mathbf{h}}(n+1) = \bar{\mathbf{h}}(n) + \mu \mathbf{E}\{e(n) \mathbf{X}(n)\} \quad (2.14)$$

6 ? (2.9) • : ? È Ç `

$$\bar{\mathbf{h}}(n+1) = \bar{\mathbf{h}}(n) + \mu \mathbf{E}\{[\mathbf{d}(n) - \mathbf{X}^T(n) \mathbf{h}(n)] \mathbf{X}(n)\} \quad (2.15)$$

F 0!• Ç `

$$\bar{\mathbf{h}}(n+1) = [\mathbf{I} - \mu \mathbf{R}_{xx}] \bar{\mathbf{h}}(n) + \mu \mathbf{r}_{dx} \quad (2.16)$$

!] È I _ ... } Le Ä p : ? - ; * È F , ' 0 c Ê W ¼ 1 Ç # f ‹ FO Ö ¼ ~ Í Ç † ¾ ! •
K , F 9 Ä

63 < • ` R _ xx _) 0 , ' 8 - (£ . Le È Y + X . Le 6 @ Ç ` ² ; œ ?

$$\mathbf{R}_{xx} = \mathbf{Q} \mathbf{A} \mathbf{Q}^T \quad (2.17)$$

!] È Q _ 0 Z ! " Ô Le È Λ = diag [λ _ 0 , λ _ 1 , ... λ _ 0] _ 0 Z) @ Le È Gü E é , ' ÿ Z s 3 P G -) Ä 8
- (£ . Le , ' (© ± I Ä 6 œ ? (2.17) V • œ ? (2.16) Ç `

$$\bar{\mathbf{h}}^{(Q)}(n+1) = [\mathbf{I} - \mu \mathbf{A}] \bar{\mathbf{h}}^{(Q)}(n) + \mu \mathbf{r}_{dx}^{(Q)} \quad (2.18)$$

? (2.18)] $\bar{\mathbf{h}}^{(Q)}(n) = \mathbf{Q}^T \bar{\mathbf{h}}(n)$ È $\mathbf{r}_{dx} = \mathbf{Q}^T \mathbf{r}_{dx}$ È F a _ 0 Z 0 L f 6 é 0 ; Ä B é 0 ; , ' 0 > N © _
h N © È ! " LMS 1 Ç # 0 c Ê W _ + a ; ? , ' 6 é 0 ; ã Ê , '

$$\bar{\mathbf{h}}_{\text{hom}}^{(Q)}(n+1) = [\mathbf{I} - \mu \mathbf{A}] \bar{\mathbf{h}}_{\text{hom}}^{(Q)}(n) \quad (2.19)$$

? (2.19) ; @ 7 , ' hom > ~ U ∈ ! Q é 0 ; , ' @ È : ? _ 0 Z 6 , 0 û @ ! 6 é 0 ; Ä) ¾ ! l \ l Z
é 0 ; È ! @ ² ;

$$\bar{h}_{l,\text{hom}}^{(Q)}(n) = C[1 - \mu \lambda_l]^n u(n) \quad \dot{\mathbf{E}} = 0 \dot{\mathbf{E}} \dot{\mathbf{E}} M - 1 \quad (2.20)$$

!] È C > ~ h È u(n) a _ ... } L f C ó ¿ G Ä + a 1 y " G f ‹ ' & . È ? ± A ñ

$$|1 - \mu \lambda_l| < 1 \quad (2.21)$$

F Ó x ! ! Q é 0 ; , ' @ 6 L ¿ F ! Q x 7 é ? > ÿ È f > ÿ ` 0 & a 7 - O A ñ % # ~ Ð s
3 + f ‹ ` h Ä ? (2.21) ø 65) l 1 V ' ë ¹ p 6 < Ç `

$$0 < \mu < 2 / \lambda_l \quad (2.22)$$

j ¶ A ñ ! ÿ Z p 9 , ' @ G - f ‹ F ? ± % C ã

$$0 < \mu < 2 / \lambda_{\max} \quad (2.23)$$

!] λ _ max a _ 8 - (£ . Le R _ xx , ' 0 W (© ± I È : a _ B 1 Ç # 0 c Ê W f ‹ ' & ¶ Ä

£ ¾ B 1 Ç # , ' f ‹ FO Ö È p ? (2.20) - ; * ? ± 1 y " G , ' œ j N © | 1 - μ λ _ l | C ° ? È

F Ó x ! ! Q é 0 ; @ > ÿ , ' C ° È £ 7 - O , , ' Õ F 0 l È 8 ' f 6 < ' f 1 Ç # , ' f ‹ FO Ö • a C °

Ä ² ì œ j N ©] ! • K _ 0 Ê l È p ? ± λ _ l ? È l f ‹ FO Ö a J ' Ä ò ' — 0 ; 0 c

Ê W ' & . È f μ = 1 / λ _ max , λ _ l = λ _ min & È F Ó x μ λ _ l = λ _ min / λ _ max Ä n ' f B I C ° ? È 1 Ç # , '

f ‹ FO Ö C ° ' È B I C ° W È 1 Ç # , ' f ‹ FO Ö C ° Ä 0 4 ø Ç ` ; 5 A ê È f E Ä • '

, ' 8 - (£ . Le , ' 0 W ¼ 0 ? (© ± I C ° Õ F & È f ‹ FO Ö C ° Ä ý { È l f ‹ FO Ö C ° ' Ä

j A ñ % # ~ 0 Ê f ‹ È 8 # A ? ± % C ã ? (2.23) , ' ± " r È p 9

$$\lambda_{\max} \leq \sum_{l=0}^{M-1} \lambda_l = \text{tra}(\mathbf{R}_{xx}) = M r_x(0) \quad (2.24)$$

$$\begin{aligned} & \{ \} \quad r_x(0) _E\tilde{A} \bullet \quad ' \quad x(n), 'k \ddot{I}) \cdot \ddot{E} \quad A\grave{a} \, \mathcal{O}E \quad P_x \ddot{E} \, I ? \quad (2.23)F \quad @^2; ' ? \\ & 0 < \mu < 2/MP_x \end{aligned} \quad (2.25)$$

n'f È P_x ã Ê ¶F ,!•K⁻ Ä

2.2.3 NLMS 算法

$$\begin{aligned} & +a \, \frac{3}{4} \, XLMS \, 1\zeta\# \, X8 \, F2 \, \ddot{A}\% \, \# \, \sim] \, \ddot{A}+X \, \# \, \ddot{E} \, p \, \hat{e} \, ' > \S \, \frac{3}{4} \, iF \, B \, 1\zeta\# \, \ddot{E} \, 0 \, h \\ & ?\tilde{n}, 'a _ \, NLMS \, 1\zeta\# \, \ddot{A} \, p : 0 ?8^2, 'A\mathcal{O}A\hat{e} \, . \, Ff \, \ddot{E} \quad LMS \, 1\zeta\# \,], !\bullet K^- \, \mu \, i \, \acute{y} \, \mathbb{1}\zeta\# \\ & , 'f \, \langle FO \, \ddot{O} \, \frac{1}{4} \, \backslash \, A\tilde{N}2\hat{i} \, \ddot{O} \, \ddot{A}6 < !\bullet K^- \, \mu \, p \, \mathcal{O}e ? (2.25) \bullet -; \varnothing \, \frac{1}{4} \, ' \quad x(n), ' \ddot{I}) \cdot 9 \, \pounds \, \ddot{E} \, p \, p \\ & , 0 \, F, '@ \, \ddot{O}63 < \bullet \, \ddot{E} \quad MB \, X.\ddot{z} \, \hat{E}! \bullet K^- \, \& L" \, E\tilde{A} \bullet \, ', ' \ddot{I}) \cdot \quad P_x \, \ddot{E}F \, g \, 7- \, O \, A\tilde{n} \, f \\ & \langle, '0c \, \hat{E} \, W \, \varnothing 7- \, O \, \frac{1}{4} \, ', ' \ddot{I}) \cdot \quad P_x \, 1) \, 0\hat{u} \, \ddot{E} \, p6 < \mathcal{D} \, 1\zeta\#, 'f \, \langle FO \, \ddot{O} \quad [57] \, \ddot{A} \\ & f! \bullet K^- \, \mu = _ \, \hat{E} \, I \, \& \, \ddot{E} ? \quad (2.9) \, a \, J \quad @^2; \\ & \mathbf{h}(n+1) = \mathbf{h}(n) + \mu(n)e(n)\mathbf{X}(n) \end{aligned} \quad (2.26)$$

{ } È!•K⁻ AÑ1Ç œ ? ^2;

$$\mu(n) = \frac{\alpha}{M\hat{P}_x(n)} \quad (2.27)$$

?], ' $\hat{P}_x(n)$ _ n & k `AÑ Ç ` , ' ' ï).

$$\hat{P}_x(n) = \frac{1}{M} \sum_{k=0}^{M-1} x^2(n-k) = [x^2(n) - x^2(n-M) + \hat{P}_x(n-1)]/M \quad (2.28)$$

n'f È `AÑ, ' ' ï) · $\hat{P}_x(n)$ _ L¿ & L\$ F, ' È ! D $\frac{1}{4}$: 0 & k 9 ö 7, '6,,3+ È 9 > .ž
, 'FB Ø £3+ Ä < g È j ¶ Añ NLMS 1Ç# f < , '0c È W È ? (2.27)Gü, ' ò α ÄB X 0
 $\frac{1}{4}2$, '93 \$ μ Ä j ¶Lb! ' ' ï) · E÷ ?6 < +O @ 0 ZE³ W, '!•K⁻ È 6 ? (2.27) i j

$$\mu(n) = \frac{\alpha}{M\hat{P}_x(n) + \xi} \quad (2.29)$$

: ?], ' ξ _ 0 ZMŽ h ?, '!" Ä+a :F Z œ ? Ç NLMS 1Ç# , ' 04ø œ ? j

$$\mathbf{h}(n+1) = \mathbf{h}(n) + \frac{\alpha e(n)\mathbf{X}(n)}{\mathbf{X}^\top(n)\mathbf{X}(n) + \xi} \quad (2.30)$$

NLMS _ 0/ý , 0 F, ' LMS 1Ç# È 6 ^0 AGÿ e(n)X(n) -() $\frac{3}{4}E\tilde{A} \bullet AG\ddot{y}, ' \pounds \acute{e}!W$
?93 Š ¶ , 0 F ÈFJ h •B\$ a _ 0/ý !•K⁻, ' LMS 1Ç# È' LMS 1Ç# § 9 \$, ' f
<FO Õ È ! DD E\tilde{A} \bullet ', ' ï) · £ Ä+a $\frac{3}{4}!$ •K⁻ $\frac{1}{4}E\tilde{A} \bullet ' . Le, '(\odot \pm I \, 9 \, \pounds \, \ddot{E}6 < (\odot \pm$
I $\frac{1}{4}$ -Ü & ' ï) · 9 £3+ È+a $\frac{3}{4}$ ' ï) · $\frac{1}{4}!$ •K⁻ @ ý" £3+ ÈF GüFJE÷ X 6!ý : Î Ð-Ü
& ' ï) · • Î)à Èj ¶F⁻ }-Ü & ' ï) · E³ ?, ' ò á ÈF GüF M0 Î Ð 0 Z!" I F3+ Ä

2.3 麦克风阵列声源测向算法

2.3.1 传统谱估计法

P5 Ba`AÑ# OÆ xAÑ1Ç Ç`0ªL\$Ba È ½ L3R pG ± W I • Ç` • # é A È Bartlett # • @ '1Ç# 6 P5 µGü & 6 À Ø -`TÖ {NpLe G žN¶ ÄB 1Ç# 7- O AñLe GEÃ * ï)· X O K é A 0 W Ä È y X(n) _EÃ • ' È w _ sGý. Gý È O K é A j θ₀ ÈFÓ x ' - j

$$\rho(\theta) = \underset{\mathbf{w}}{\operatorname{argmax}} [E\{\mathbf{w}^H X(n) X^H(n) \mathbf{w}\}] \quad (2.31)$$

f, - š ï)· j 0 h , ' ' & ; È D sGý. Gý93 j 1 ÈLe G#q'. Gý j a(θ) È0ª L\$Ba- j

$$P_{BF}(\theta) = \frac{\mathbf{a}^H(\theta) \mathbf{R}_{xx} \mathbf{a}(\theta)}{\mathbf{a}^H(\theta) \mathbf{a}(\theta)} \quad (2.32)$$

i ž : ? ® *0ªL\$Ba, ' ± l È) Ä, ' é A £ • # `AÑ é A Ä 9 0 Z é A, ' ' ^ X & ÈB 1Ç# _ > |, ' È f 9 J Z é A ' & ÈB 1Ç# , ' `AÑ W7- 6 U — ; } ÄB 1Ç# F Le G ' @ # • k+ í Ö ¼ é A 7 , ' LÈ f Ä

2.3.2 Capon 最小方差算法

j ¶ U>• :F 1Ç# , ' 0 È =Cã È Capon * 0/ý1Ç# ÄB 1Ç# Y+XG 68 +a Ö X O K é A : ' @ 0 Z Le G# • k+ È Y+X™ %₀ ' &™M&L§) ö ç é A Ä B 1Ç# ø>Û0 j MVDR 1Ç# È! k?± M# _ Añ O K é A ' a-O ÈÁ f ç é A ' È³, ' œ ? ² ;

$$\begin{cases} \min \mathbf{w}^H \mathbf{R}_{xx} \mathbf{w} \\ \text{st. } \mathbf{w}^H \mathbf{a}(\theta) = 1 \end{cases} \quad (2.33)$$

A Y+X ù l G €# "r@ :F 4Ö • H FL NÈ È7- O 6 !Eœ F j 4Ö • H FL NÈ

$$L(\mathbf{w}) = \mathbf{w}^H \mathbf{R}_{xx} \mathbf{w} + \lambda (\mathbf{w}^H \mathbf{a}(\theta) - 1) \quad (2.34)$$

E • ù l G € λ È "r@ : ? Ç`

$$\mathbf{w} = \frac{\mathbf{R}_{xx}^{-1} \mathbf{a}(\theta)}{\mathbf{a}^H(\theta) \mathbf{R}_{xx}^{-1} \mathbf{a}(\theta)} \quad (2.35)$$

B 1Ç# , ' 0ªL\$Ba - ² ;

$$P(\theta) = \frac{1}{\mathbf{a}^H(\theta) \mathbf{R}_{xx}^{-1} \mathbf{a}(\theta)} \quad (2.36)$$

FJE÷AÑ1Ç : ?0^aL\$Ba 6 3 - , ' ± l&é • `AÑ • # é A ÄwAî6ü Y š jQ ß,- š
 ÈFÓ xB - _ £ ¾ é A θ, ' 0 W l'f `AÑ Ä > P5 Ba `AÑ1Ç# - (" ÈB 1Ç# , ' 6EØ
)• \$Q È v =Cã { 4 X ¾ !M0?±AÑ1Ç. Le, 'F6 È Î Ð ¶AÑ1ÇGÿ È F Ç Añ ¢ ¼ O K
 ' _-(Â) 0û, ' È 6< DLe G, ' ...5 ' ¼ š " • i y ¶B 1Ç# , '0^aL\$ 6EØ). Ä

2.3.3 MUSIC 算法测向

Y+X x# • F >|#{ A, '1Ç# FJ h , 9 x Èv _! f ¾Le G# • k+ í Ö ¼ é A
 W 7 È b6< 6EØ). =Q ÈLe G j (¼ - P O ~ - i y ¶! W7- Ä XLe G j (¼ P
 O ~ - * Ê, ' õ à ; È \$À#{ A7- OEî , ' 0Q 0^aL\$ 6EØ). a _*Ž YL€ È CµE÷*Ž YL€
 , ' 1Ç# G- _Cµ 6EØ).1Ç# Ä wAî"Ñ 9 š ^ X, ' õ à ; È *0û2î.ž - Q » È Ç `
 • # é A `AÑL NÈ, ' ...@ È Schmidt 6 ! Ø - ` 9 š ^ X, ' h?ñ, ' õ à È ! D Ç `
 F l@ È F a _ MUSIC 1Ç# ÈF • _ ' Ä š €0^aL\$ é# OÆ!Q Ä+X X \$À#{ A] Ä
 B 1Ç# _ X0^aL\$Ba `AÑ.D0! ¶ " : § 9Gü0; Á ? y Ä
 B 1Ç# § 90^aL\$ 6 EØ).Q È7- O `AÑ * J Z é A ' ÈMŽ hF2+X ¾ öLö » ')ß ³
 ;, ' #{ A Ä ! k?±!•PÔ _ 6 Ô f '8 -(£. Le R_{xx} F >| (© ± l 6@ È Ç ` ' €
 0^aL\$ ¼ > ! " Ô, ' š €0^aL\$ Èf > Y+X (© ± l 6 3?ô » 6F T Z €0^aL\$ 6/ë 0 • È ®
 ` M ZE³ ?, ' (© ± l >) Ä, ' (© ± AGÿ È Ô-p)0^aL\$Ba - F >| L3R `AÑ Ç ` • # é
 A ÈB 1Ç# , '0^aL\$Ba - j

$$P_{MUSIC} = \frac{a^H(\theta)a(\theta)}{a^H(\theta)U_n U_n^H a(\theta)} \quad (2.37)$$

B 1Ç# M0?± wAî 4Z é A, ' ' _ =-(£, ' ÈÖ f ` , ' '8 -(£. Le% CãmŽ w 2
 . Le, ' WCX È V l B 1Ç# 6 J a x Ä >5 ê ø * \$ J iF , ' MUSIC é# • F >|
 \$À • # é A `AÑ È" ²"ri MUSIC Ä Ú)ß MUSIC Ä-(¢ '\$À MUSIC Ä4Ö • MUSIC
 ú# • 0^aL\$ MUSIC 1Ç# 1y Ä
 +a ¾4ÿ ", ' MUSIC 1Ç# M0?±0^aL\$Ba - F >| l L3R ÈF J x+O , W, 'AÑ1ÇGÿ È
 63<• ` 08\ l *)à X 6!ý jM& 4 È a Eœ F j JN© ?"ri ÈF 6< ÿ AF 1ÇGÿ È • a
 @ ¶ "ri MUSIC 1Ç# Ä+a ¾ X"r@ E÷0; jM0?±+X ` < 0L\$D È DLe G#q ' õN« j-\$
 4î ÈuB 1Ç# õF2+X ¾1yL\$D 4îLe Q » ÄB 1Ç# >4ÿ " MUSIC 1Ç# - (" § 9 AÑ1ÇGÿ A È
 6EØ).Q , ' H&é È6< DF2+X ¾ ~ š " ' & Ä
 Ú)ß MUSIC 1Ç# 7- O < & Y+X : G÷Lö ' , 'NÁBa-(£ W ¼0^a -(£ W Ä § f Š#
 _ 6 MUSIC ¼NÁBa-(£ W5 8C\$ • È ?± O K ' ¼ ¢ ' , 'L\$Ä ? ¾B 1Ç# , '0^a
 L\$ 6EØ). È a ö.ž `AÑ * O K é A ' È6< DB 1Ç# = • 4 ' - , 'L€ f Ä w

AîLe G Õ f O K ' XNÁ)· f_{α} 4 § 9NÁBa-(£ W È6< | ³ ' XB NÁ)· 4 = § 9-(£ W ÈFÓ x Õ f. Gÿ >~ / j j

$$\mathbf{u}_{\alpha}(t) = \sum_{i=0}^M a(\theta_i) s_i(t) + \mathbf{n}(t) = \mathbf{A} \mathbf{S}(t) + \mathbf{n}(t) \quad (2.38)$$

4ÿE÷ Ø , ÇB 1Ç# , '0ªL\$Ba - j

$$P_{CMU}(\theta) = \frac{\mathbf{a}^H(\theta) \mathbf{a}(\theta)}{\mathbf{a}^H(\theta) \mathbf{U}_{n,\alpha} \mathbf{U}_{n,\alpha}^H \mathbf{a}(\theta)} \quad (2.39)$$

é A@ θ j8 Gÿ)0ªL\$Ba - F >| I L3R£ Ç` M Z ' , '•# é A Ä # •0ªL\$ MUSIC 1Ç# 5 8 ¶# • @ ' *6Aê ¼ €0ªL\$ *6Aê È x Y+XLe G ' ' @ J Z# • È Õ - p)8 -(£ ' F > | (© ± l 6@ Ä B 1Ç# k?± M # a _ X P5 , '•# é A ` AÑ1Ç# { } AîAÑ Z# • @ ' ~ ÈN` x ' @ 0 Ê , # • È F g JEÄ * J Z# • , ' ' È F a-(f ¾ x Š 0 ; ' é A , ' 2Ç ` AÑ È ½ F > | # Eî é A 2î.ž ` AÑ ÄB 1Ç# § 9 ² ; H&é Ö - (" P5 L3R# AÑ1ÇGÿ ? È0ªL\$ 6EØ)· \$Q È7- O é ý \$ W , ' 3+5 • È ` AÑ2î Ö \$Q 1y Ä 08\ õ åG- _ • 4 ' - A ¾ Le s - È F g EÄ * , # • Gÿ1y ¾ • 4 ' È - (" = Ð# • @ ' ~ , ' MUSIC 1Ç# 7- ÿ AF 1ÇGÿÈ 0 é M' ³ , ' 8 + a Ö • L¿ { ÿ A Ä Le G Q » , ' 8 + a Ö1y ¾ Le s - ÿ ë 1 È < B 1Ç# , ' 8 + a Ö1y ¾ ' @ , # • - Ä ! " È j ¶ Eî ` 6EØ M Z ' \$À È M0?± Q » , ' 8 + a Ö8# A j M + 1 Ä wAî)à X 4 • 4 ' _ = -(£ , ' ÈFÓ x N ZTÖ { NpG÷Lö ` M Z ' \$À , ' Q » j

$$\mathbf{X}(k) = \mathbf{A} \mathbf{S}(k) + \mathbf{n}(k) \quad (2.40)$$

Y+X \ 1Ç# N` x4ÿE÷ 0 Z# • @ ' ~ > EÄ * j

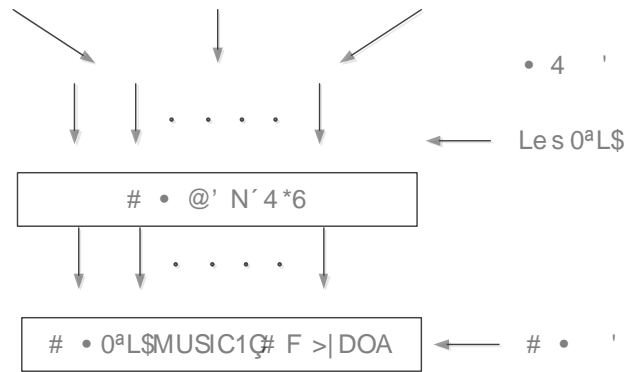
$$\mathbf{X}'(k) = \mathbf{B}^H \mathbf{X}(k) \quad (2.41)$$

: ?] B _ N × M , # • @ ' Ð s. Gÿ. Le È ³ EÄ * j M Z# • Ä : ? 6 N ZFJ Ff ' ' j M Z# • EÄ * Ä 6 X'(k) Œ j | MUSIC 1Ç# , ' EÄ • a Ç ` # • 0ªL\$ MUSIC 1Ç# È j ¶ \$ Ð \$5 , ' * 6 @ 5 8 # • @ ' * 6 Aê , ' 0ªL\$ # { A1Ç# È Lt : B 1Ç# , ' # q0 ; . È ² . 2.2 p / j È k?± 6 T ! • C È M0?± 63 < , ' s3P 9 • 4 ' Ä Le s 0ªL\$ ¼ # • ' Ä • 4 ' p = < é A ` • È f > 6 ! Eœ ' ` # • 0ªL\$ È 4ÿE÷ # • @ ' N` 4 * 6 È Y + X # • ' ¼ # • 0ªL\$ MUSIC 1Ç# F > | DOA B 1Ç# < - f FJE÷ # • 0ªL\$ " r * & F È F 6 < " r * # é A Ä

j ¶ \$, ' ` AÑ * 4 • 4 ' , ' é A È F X ! " * . p : F > | i F È FJE÷ L } ~ EÄ •

' 8 -(£. Le , ' 5 \$ Ö • ÿ ? F 1ÇGÿ Ä i F > , ' 1Ç# < g 6 T Z ! • PÔ È OÆ x _ 2Ç ` AÑ È F9 G 6 Le s ' @ 0 Ê , ' í # • È FJE÷ ` ! ÿ Z# • í • ' - ; , ' ÿ A È F g • 7-

9E³ W, ' ? ¶ - 93 \$ È Õ - pF > | 2î . ž ` AÑ È X : 0! • 2Ç ` AÑ 93 \$ μ ' @ Z0' # • Ä : F
T! • 05 8 a JL} ~ 8 - (£ . Le, ' 5\$ Ö È F 7- Añ , Q , ' 6EØ) • Ä



. 2.2 # • 0ªL\$ MUSIC 1Ç# #q0;

Fig. 2.2 The Process of Beamform MUSIC Algorithm

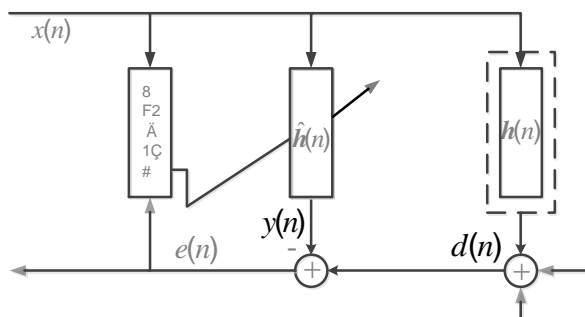
: a _ h + X, ' / ý MUSIC F > | J \$ Å # { A, ' é # È 4ÿE ÷ .D0!) à È F È Q » G -
_ X \$ ' ý ' & ; * 0û, ' È Î Lu Ä + X] f E î `] 1y0; Ö F \$ Q \$ ' ý & È F È 1Ç# a J a
x Ä XF j 9\$ ' ý õ å ; È F È é # F M0? ± F 0! •, ' i F È F 65Gý * à Q » È p6 < .D0!
* R ± W \$ j, ' é # Ä

3 声学回声消除

3.1 基于 WebRTC 的 AEC 算法

3.1.1 算法简介

3.1 节中，我们介绍了 AEC 的基本原理。在 WebRTC 中，AEC 算法的实现主要依赖于 NLMS 算法和 DTD 算法。NLMS 算法用于自适应滤波，而 DTD 算法用于检测双谈。在图 3.1 中，我们展示了 AEC 的基本模型。该模型包括一个输入信号 $x(n)$ ，一个自适应滤波器 $\hat{h}(n)$ ，一个参考滤波器 $h(n)$ ，以及一个误差信号 $e(n)$ 。输入信号 $x(n)$ 经过自适应滤波器 $\hat{h}(n)$ 后，与参考滤波器 $h(n)$ 的输出相加，得到输出信号 $y(n)$ 。输出信号 $y(n)$ 与参考滤波器 $h(n)$ 的输出相加，得到误差信号 $e(n)$ 。误差信号 $e(n)$ 用于更新自适应滤波器 $\hat{h}(n)$ 的系数。



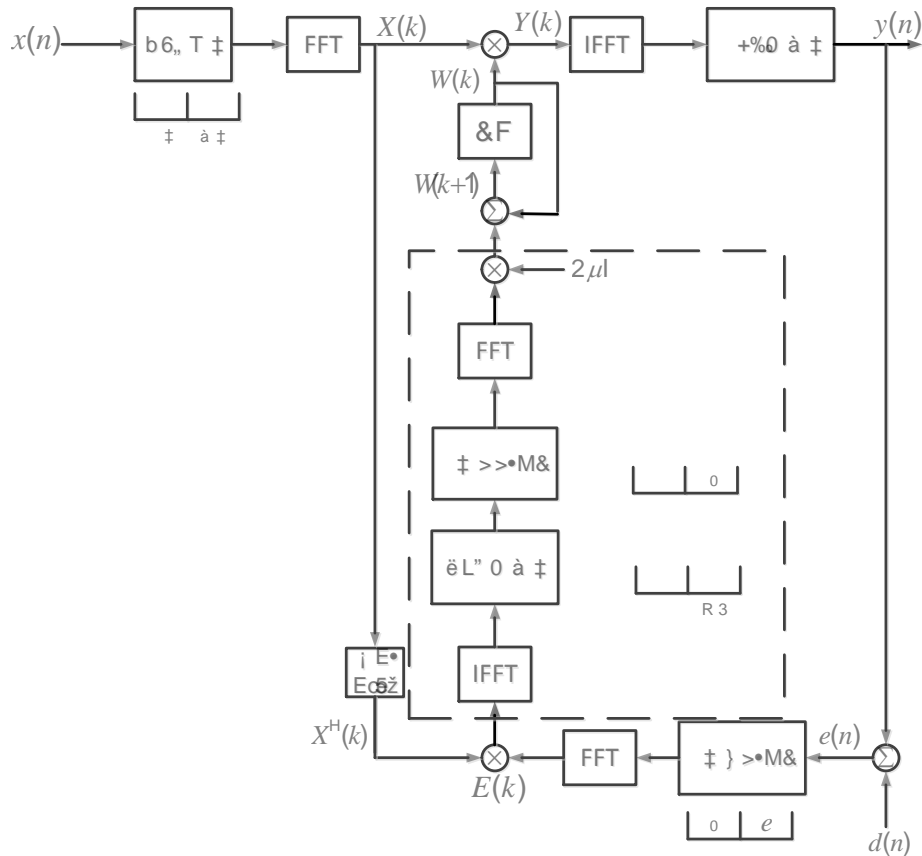
3.1 AEC 模型
Fig. 3.1 AEC Model

在图 3.1 中，我们展示了 AEC 的基本模型。该模型包括一个输入信号 $x(n)$ ，一个自适应滤波器 $\hat{h}(n)$ ，一个参考滤波器 $h(n)$ ，以及一个误差信号 $e(n)$ 。输入信号 $x(n)$ 经过自适应滤波器 $\hat{h}(n)$ 后，与参考滤波器 $h(n)$ 的输出相加，得到输出信号 $y(n)$ 。输出信号 $y(n)$ 与参考滤波器 $h(n)$ 的输出相加，得到误差信号 $e(n)$ 。误差信号 $e(n)$ 用于更新自适应滤波器 $\hat{h}(n)$ 的系数。

3.1.2 AEC 算法流程

在图 3.1 中，我们展示了 AEC 的基本模型。该模型包括一个输入信号 $x(n)$ ，一个自适应滤波器 $\hat{h}(n)$ ，一个参考滤波器 $h(n)$ ，以及一个误差信号 $e(n)$ 。输入信号 $x(n)$ 经过自适应滤波器 $\hat{h}(n)$ 后，与参考滤波器 $h(n)$ 的输出相加，得到输出信号 $y(n)$ 。输出信号 $y(n)$ 与参考滤波器 $h(n)$ 的输出相加，得到误差信号 $e(n)$ 。误差信号 $e(n)$ 用于更新自适应滤波器 $\hat{h}(n)$ 的系数。

M0?± Añ8 F2 Ä1Ç#, '1y x% # ~Cã OK ÈF ?±r & &Cã O ? È j¶ Eî` F T Z-, ' 6 X(k) ¼W(k) 6 ‡ 4*6 È ¼y ‡ ž NÁ) Ä-(^ È 0 > ½-(Ð9Ç Ç ¼ 6 ‡ } -(< x ì ÄF & X(k) M0?± 9 ‡ 6+Edf > ¼ W(k)) Ä ‡-(^ È 6 k ‡ , -(^ 5 ì-(Ð Ç ` 0 ‡, ž Y(k) È Y(k) >• @ T ‡ K- ž ½4ÿE÷ IFFT Ç` & ' y(n) Ä



3.2 Gy +‰ PBFDA#q0;
Fig. 3.2 Flowchart of OverlapSavePBFDA

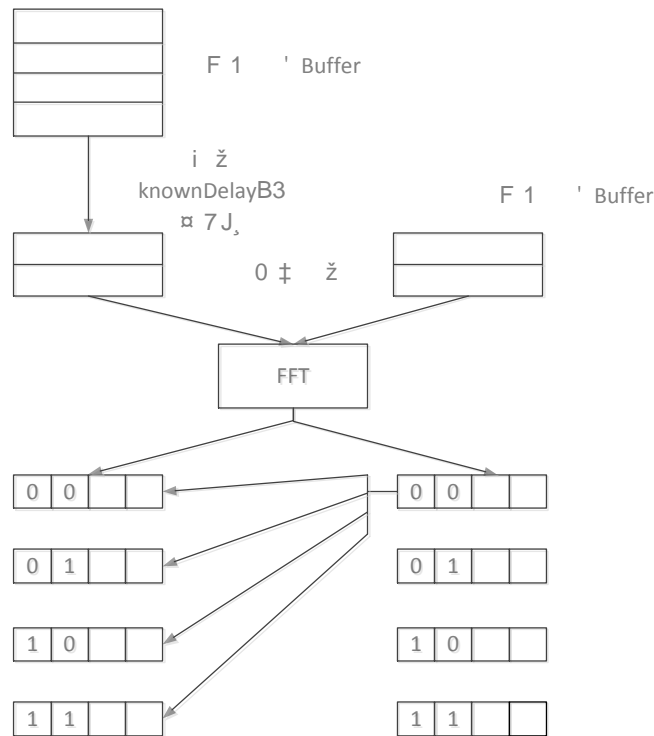
+a ¾ XNÁ) Ä-(^ È X < g ‡ K- ' & ; & 4i W §0 J" } 0 ‡ ž È j!" y(n) M0?± +‰ > 0 ‡ ž ÈF g 0 • È d(n) ÿ y(n) X ‡ µ) Ä-(ÿ Ç` e(n) ÄF g Ç ` , ž #Gý à ' `NÁ M0?± X } 0 ‡ >•M& È Õ ; •Añ1Ç ß Õ È ½F >| IFFT Ç` e(n) È) Ä ¾ y(n) > 0 ‡ ž 9 x È p F & Ç`, 'F l e(n) 'M0?± +‰ } 0 ‡ È { >>•M& \$ à Ç` W(k) Ä < g È) • ' x(n) •M0?± b6,, à T Z ž ‡ È Ð0Ç - ' `NÁ È ÿ ANÁBa"ôMb ¼ a-O Ä

3.1.3 远端和近端信号延时对齐

f 4ø1 ¯+X,´ _ Android 3+5 & ÈWebRTC Gü Ê y ¶ T/ý Q ? È 6 [_
 LowLatencyMode¼kHighLatencyModeÈ T/ý Q ? _ X WGÿAî 7,´#{P¼ *.p :F9 Ê,´ È
 0; ¿] T/ý Q ?% # ~K¯ Ö j 96msÈ T/ý Q ? qAè,´ 0 W & F 6 [j 96ms ¼256msÈ
 0; ¿Gü qAè,´ 0 W & & _ 500msÈAî Ê,´U AÔ * Ê & & _ 50msÄ+a ¾8 F2 Ä% # ~ _
 XNÁ F >| 4*6 È é y 0 Ê,´`AÑ &F B È W J õ å ;=M0?±F >| ~ & & `AÑ È
 • 8 ! Aî Ê 0 Z * Ê I ÈF g = õ 8²-1F 1ÇGÿ È6< D •7- O 9 , -,´ #,
 L" x Ì Ä f X5•5]F >| PEÄ 9Q &F *)à & È G÷+X (Global IP SolutionsGIPSOÆ]
 0 - æ Bastiaan´ & & `AÑ1Ç# È Ö ; •û4ý WebRTC 0;Gü)B 1Ç#,´ Ä+X Ä
 ò63 TDOA]G÷+X,´ ¯ y Ä-(£# ú8 F2 Ä JFO)-5F@ .1 (Adaptive Multi-Rate
 Code, AMR),´ & & `AÑ1Ç# È # ¯+X-(£,´ M # • `AÑ &F Ä Aî Ê 9B N# j 1 ÈB
 N# , a F"Ñ 9,´ õ å j 0 ÈF g,´ F 1 ' ¼F 1 ' 4ô 8 * /ý(æ 1 (00) Ä(01) Ä
 (10) ¼(11) Ä(00)(æ 1B\$ >F 1 ¼F 1 'G-" E³ a È (11)(æ 1B\$ > _ üAâ õ å Ä (10)(æ
 1B\$ >F 1 ' j È vF 1 G÷Lö `B N# , a ÈF /ý õ å , A?ñ È j 08\FJ Aî 7,´ œ
 ~ ¼TÖ {NpD /è = J ,F È • 9 7- _ TÖ {Np uLì F ê j Fž QTÖ {Np Ä(01)(æ 1B\$ >
 "Ñ 9 È v _ ü é FJ & Ä j F F 1 È p B (æ 1 • , A *)à Ä > T/ý(æ 1 WebRTC
 U AÔ =F >| 4*6 È k?± M•} T/ý (æ 1 `AÑ &F Ä
 6F 1 ' ¼F 1 ' 6 [Š FFT ' `NÁ È X"r * Ì)-Ba È 6 @ 32 Z € V È
 ' `NÁ lÿ ‡ ž j 65 & é Èdelay_estimate_wrapper.c &] 9 Z - = j
 BinarySpectrumFloatÈB - Gü 9 Y+XF I-(£# "r & & ,´ Ì7- Ä³ F9 kBandFirst j
 12 ÈkBandLast1y ¾43 È J -) Ä ¾ 738-2646HzNÁ)-93 \$ È0; ¿ 9 T ‡ - È 0/ý _
 È&é F >,´ È 0/ý _#ž&éF 1Ç È È&é F0; ¿5 nG- _ Fix È#ž&éF 1Ç - 5 n _ FloatÄ
 lÿ Z € VAî Ê 0 ZL8 I ÈCµE÷ L8 IAÔ j _ 1 ÈL8 I { ; ,´AÔ j _ 0 È!ÿ ZNÁ&é,´ M ûL8
 I _EÄ • ' Ì)-Ba) Ä I ,´ 0 z Ä wAî :!QL8 I j threshold_meaf } Ì)-Ba) Ä
 &é _ spectrumÈFJE÷ Ð s Ç ` àL8 I threshold_spectrumÈ :!QL8 I sGý j 63/64È f }
 Ì)-Ba sGý j 1/64Ä ¶ "F 1 ' ^ X 0 ZK¯ Ö j 75,´ 32 } 4ô] È ¶ "F 1 ' ^
 X 0 ZK¯ Ö j 16,´ 32 } 4ôGü È f } I 4ô ; 7Aà j 0 È 6 0 ` • ,´ F 1 ' Gÿ F
 I >F 1 75 Z 6 [F >| 9 } 2 F Èf >5 AÑ 1,´ Z ^ X 0 ZK¯ Ö j 75,´ 4ô] È
 F ?±F >| £% 4*6Lb!´0± Ä 5 AÑ1,´ - C° W ÈB\$ > T Z 'NÁBa-(£0; ÖC° ? È-(
 ý IAñ > -(£0; ÖC° W È • a _B\$ `AÑ,´ &F \$ ö.ž Ä j ¶ F 0!•.ž &F `AÑ,´
 ö.ž È 0;GüF Ð • ¶Eé+| I Ô 4*6 È ² Ì & & `AÑE÷0;]5 AÑ 1,´ - G-" E³ W È

F & =F >| & &, ' \$ à È² ì5 AÑ 1, ' - *)àE³ A, ' õ à È +X 0LfPœ D0 [Q » • \$ à & & Ä

. 3.3 _ i ž `AÑ Ç ` , ' & & knownDelayB3 ðF 1 ' Buffer 7J, ¼ F | -(£# "r & &, 'E÷0; Ä



. 3.3 & & `AÑ#q0;

Fig. 3.3 The Process of Time Delay Estimation

3.1.4 非线性处理(NLP)

X NLMS 8 F2 ÄB38²Lf!â Èj ¶Lb! , 0 FB ' , 'NÁBaE÷ W È" 4 Î Ð 0 ZL
 L€ I È! " hAî j 2×10⁻⁶ ÈCµE÷L L€ I I 6L L€ IC{5 , 0 FB NÁ ' Ä fG÷ gNÁ)·
 j 8kHz & È! •K⁻ stepsizeAî j 0.6 È16kHz ¼ 32kHz G÷ gNÁ)· ;! •K⁻Aî j 0.5 ÄAÑ1ÇB
 ' ¼F 1 ' , ' Ä-(£Aà j cohdeÈF 1 ' ¼F 1 ' , ' Ä-(£Aà j cohxdÈ
 1-cohxd ¼ cohde, ' 0 ? I j hNIDe È hNIDe, ' £ w I j hNIDeAvg • ã È Y+X5\$4ã
 % # #,L" ! »+‰ , ' Î,ú W ? Ä

fB 7-Gÿ seSum W ¾F 1 7-GÿsdSum & È a 6F 1 ' NÁBaC{ I5 B ' NÁ
 Ba È I 6 " 7 } divergeState5ž 1 È² ì seSum, ' 1.05 = ? ¾ sdSum & È I 6
 divergeState5ž 0 È² ì seSumW ¾sdSum, ' 19.95 = & È 6 sGý3+ . Le5ž 0 Ä £% %

~3+ ¼ Á f3+ j < OE+X • \$ à 04ø hNI % # ~3+ Ä 04ø 6 NÁ B 'FJE÷B
% # ~È Õ-p +XGý -(Ð# ' = @ & ' È æ f >0+F >| ; 0 ‡F Ä
+a ¾WebRTC, ' AEC]"Ñ 9 DTD È6< AECM] • = _ U I, ' DTD ÈF aFP @ ¶
9 üAâ õ å *)à & ÈF 1 \ ' ' • J>Û z a È +J8#>Û#,L"Ä

3.2 改进算法

3.2.1 分块频域自适应滤波算法

WebRTC 0;Gü AEC G÷+X, ' a _ .)^ [58]] 6 ‡NÁ 8 F2 Ä% # 1Ç# Ä 1Ç# -(E³
¾& NLMS 1Ç# 9 T W H i ÈÖÆ x W WL} ~ ¶F 1ÇGÿ ÈF _ j/è " µGü & ' FJE÷ FO1Ç# FFT Î)à Ä1\ ¼ _/è " µGü & ' ¼% # ~5 ' +O @F I =-(£, '
' È £F È € V ' W f :% Cã! " Ô W Ä !ÿ 0 Z8 F2 Ä Ð s G÷+X & !•K⁻ È F g X æ
Z% # ~µ f ‹ W 1 08\$ Ä G p ~. È ß Ö ;L}# (0L' ;L}#), ' f ‹FO Ö _+aEÄ •
' -(£. Le, '(© ± I 2 ã È, ' ÈF È(© ± I 6 [) Ä!ÿ ZNÁ&é, ' ' Î). Ä X!ÿ Z
NÁ&é :Aî5ž ¼ ' Î). @ ý", ' !•K⁻) Î). GÿF >|>•⁻ ÈF g æ f Q 1Ç#
, ' f ‹FO Ö Ä

È yEÄ • ' NÁ . Le j

$$X(k) = \text{diag}[X_0(k) X_1(k) \dots X_{M_b-1}(k)] \quad (3.1)$$

È yNÁ sGý AGÿ j

$$W(k) = [W_0(k) W_1(k) \dots W_{M_b}(k)]^T \quad (3.2)$$

:F T Z ? €] k > ~ / j ‡ ' È!ÿ 0 ‡, ' žK⁻ Ö _ 2M_b È+a ¾ x ~ ß(© í g Ê*6 È
NÁ ž } > § 9 iE•) 0 W È F Ç63<•-\$#q 6Gÿ Èp ÎLuAÑ1Ç &K⁻ Ö j M_b + 1 È6
‡AÑ1Ç XNÁ M0?±!ÿ ‡) Ä-(^ È% # ~K⁻ Ö j ‡ ^ !ÿ ‡ žK⁻ Ö Ä!ÿ 0 ‡, ' NÁ
EÄ * AGÿ j

$$Y(k) = X(k)W(k) \quad (3.3)$$

FJE÷IFFT Ç ` y(n) È+a ¾ 6 ~ §0 ¼4i W § 0, ' £3+ È +‰ > N &éÄd(n) ¼ y(n)
OE Ç & B ' e(n) Ä XB ' }>• M_b Z 0 È ¼4ÿE÷FFT Ç E(k) Ä

ò63 NLMS 1Ç# sGý AGÿ & >~Eî ? ÇNÁ sGý. Gÿ

$$W(k+1) = W(k) + \mu_f(k)X^H(k)E(k) \quad (3.4)$$

!] È H > ~ / j =. Le j E•Eœ5ž È $\mu_f(k) = [\frac{\mu}{P_0(k)} \frac{\mu}{P_1(k)} \dots \frac{\mu}{P_M(k)}]$ È P_M(k) _ M NÁ&é ' Î

) . È µ _ 0 Z h Ä FJE÷ ; ?AÑ1Ç

$$P_m(k) = \lambda_0 P_m(k-1) + (1-\lambda_0) |X_m(k)|^2 \quad (3.5)$$

!] È λ_0 _F ‡ € È WebRTC AEC1Ç#] 0.85Ä
 +a ¾ 6 ~ §0 ¼4i W §0 , ' £3+ ÈF ?±63<•Gý +%o# È XNÁ 8 F2 Ä% # 1Ç#]
 M0?±5 !Q FFT ¼ IFFT È , i5 Å _ sGýF œ ?] ß Ö, 'L€ f È v _NÁ 8 F2 Ä% #
 , '7- W WL} ~F 1ÇGý È !">Û ^# Ä+X ¾ 0;] Ä

3. 2. 2 联合最优 NLMS 算法

·)^ [59] * 0/ý à, 'AÑ1Ç sGý, 'F œ ? È 6 P5 NLMS !•K`Gü T Z €6,, 863
 <• Ä-(£, ' Ê y ¼ Ø , ^; Ä

OÆ x Ê yg_n(n) j 0 w IQ ß, - š AGÿ ÈwAî $h_{jo}(n) = 0$ w IL¿ j Gÿ ÈD% Cã 0
 LfPœ D0 [Q »

$$h_{jo}(n) = h_{jo}(n-1) + g_n(n) \quad (3.6)$$

Ê y >P¼ aB3 œ ? j

$$\eta(n) = h_{jo}(n) - \hat{h}_{jo}(n) \quad (3.7)$$

6 ? (2.22) ¼(3.6) • ? (3.7) a 9

$$\eta(n) = \eta(n-1) + w(n) - \frac{\mu e(n) X(n)}{X^T(n) X(n) + \xi} \quad (3.8)$$

$$wAîE\tilde{A} \bullet 'WK^- j L È K j W \frac{3}{4}1y \frac{3}{4}1, ' È \gamma = 1 - \frac{1}{KL} È `AÑ š ', ' \ddot{I}).$$

j

$$\hat{\sigma}_v^2(n) = |\hat{\sigma}_d^2(n) - \hat{\sigma}_y^2(n)| \quad (3.9)$$

š ' g_n(n), ' ï) · j

$$\hat{\sigma}_w^2 = \frac{1}{L} |\hat{h}_{jo}(n) - \hat{h}_{jo}(n-1)|^2 \quad (3.10)$$

`AÑ O K ' d(n), ' ï) · j

$$\hat{\sigma}_d^2(n) = \gamma \hat{\sigma}_d^2(n-1) + (1-\gamma) d^2(n) \quad (3.11)$$

`AÑ O K ' y(n), ' ï) · j

$$\hat{\sigma}_y^2(n) = \gamma \hat{\sigma}_y^2(n-1) + (1-\gamma) \hat{y}^2(n) \quad (3.12)$$

Ø , Ç% # ~3+ $\hat{h}(n)$ \$ à œ ? j

$$\hat{h}_{jo}(n) = \hat{h}_{jo}(n-1) + \frac{X(n)e(n)}{\frac{L\sigma_v^2}{m(n) + L\sigma_w^2} + (1 + \frac{2}{L})X^T(n)X(n)} \quad (3.13)$$

: ?] $m(n)$, ' \$ à œ ? ^ ;

$$m(n) = \left\{ 1 - \frac{X^T(n)X(n)}{L[\frac{L\sigma_v^2}{m(n-1) + L\sigma_w^2} + (1 + \frac{2}{L})X^T(n)X(n)]} \right\} \times [m(n-1) + L\sigma_w^2] \quad (3.14)$$

3.2.3 改进算法

WebRTC AECGü, ' 6!âNÁ 8 F2 Ä% # 1Ç# H ï X ¼AÑ1ÇGÿ ? È ï ¼ 0; î)à È
! DAÔ j DFT >% # ~ µ 4NÁ V ' § 9F !" Ô W ÈF9 NÁ , 'B ' ¼NÁ F
1 ' , ^0 œ j ß Ö Ä6,, 8 0 H NLMS 1Ç# _ X & Ø , , ' È! H ï X ¼ üAâ ' &;
Íf7- O Añ% # ~ f ‹ È v _AÑ1ÇGÿ" NÁ 1Ç# WÄF Gü OH¤NÁ % # 1Ç# , ' M
ÈXNÁ 66,, 8 0 H NLMS 1Ç# Ø , * à, ' sGýF œ ? Ä*6 # ð å _ iF 1Ç# 7- O
< & 9F T/ý1Ç# , ' H&é È! DB 1Ç# = ÍÇ† ü1 ð#{ È X üAâ *)à & • 9-()E³ -
, ' ëL" x ì Ä

& NLMS 6 ‡ 4*6 sGý AGÿ \$ à œ ? j

$$h(n+1) = h(n) + \sum_{m=0}^{M_b} \frac{\mu e(nM_b + m)x(nM_b + m)}{x^T(nM_b + m)x(nM_b + m) + \xi} - 1 \quad (3.15)$$

!] È M_b _ ‡K⁻ Ö È n _F !Q Ä & 6 ‡F 1 '% # > È !EÄ * ' j

$$y(n) = x(n) * h(n) = \sum_{m=0}^{L_b} x(n - M_b \cdot m) * h(n + M_b \cdot m) \quad (3.16)$$

!] È WebRTC0; ¿] % # ~ ‡ L_b 08\ 12 F65 16 È© [ð å ; 32 ÄF g XNÁ
FJE÷!ý ‡] $X(k)$ ¼W(k)) Ä-(^ È % # ~K⁻ Ö j 12×64G÷ g&é È v _EÄ * &F 9 64
G÷ g&é È6< D Î Ð ¶F 1ÇFO Ö Äa ¼G÷+X 6 ‡ 4*6 È j ¶Eî ` İ • , ' x ì ÈM0?± 6F 1
' 6 ‡ È Ð0Ç È FFT > 9 ‡6+Eœ Èf>D !ý ‡ , ' sGý AGÿ W(k)) Ä-(^ È ½-(Ð Ç
` Y(k) Ä

È yF 1 G÷Lö 'NÁ >Eî ? j

$$D(k) = X(k)W(k) + V(k) \quad (3.17)$$

!] È V(k) _ š ' È <-f d(n) -\$ Ö9ç Ç È v _ ? (3.17)X Ö ; • Ø , J+X ` Ä
wAîNÁ sGý AGÿ _ 0 w IL¿ j AGÿ È% Că1° ... 0LfPœ D0 [Q »

$$\mathbf{W}(k) = \mathbf{W}(k-1) + \mathbf{G}(k) \quad (3.18)$$

!] È $\mathbf{G}(k) _ 0 \text{ w lQ } \beta _ 6 \text{ 3. } \ddot{\text{G}} \ddot{\text{A}}$

ò'— PBFDA1Ç# sGý \$ à œ ? È y j

$$\hat{\mathbf{W}}(k) = \hat{\mathbf{W}}(k-1) + \frac{\mu \mathbf{X}^H(k) \mathbf{E}(k)}{P_X(k) + \xi} \quad (3.19)$$

!] È $\mu _ 1/4 \xi _ 6 [) \ddot{\text{A}} = \langle \text{NÁ\&é}, ' \text{ T Z hG} \ddot{\text{Y}} \ddot{\text{E}} \mathbf{X}(k) _ \text{œ ? (3.1)} \ddot{\text{A}} P_X(k) _ > \sim / j _) \ddot{\text{A}} \text{NÁ\&é}$

: $\mathbf{X}(k) _ ' \ddot{\text{I}} \cdot \ddot{\text{A}} \text{NÁ} _ 8 \text{ F2 } \ddot{\text{A}} \% \# 1 \text{Ç} \# _] _ 9$

$$\mathbf{E}(k) = \mathbf{D}(k) - \mathbf{X}(k) \hat{\mathbf{W}}(k-1) \quad (3.20)$$

NÁ $6 \ddagger > \ddot{\text{E}} \text{WebRTC0; } \ddot{\text{z}} \text{Gü} \mathbf{E}(k) _ 1/4 \mathbf{D}(k) _ 9 \text{ x K}^- \ddot{\text{O}} _ j _ 65 \ddot{\text{E}} \mathbf{X}(k) \hat{\mathbf{W}}(k-1) _ 9 \ddagger " \text{r } 1/4$

> $9 \text{ xK}^- \ddot{\text{O}} _ \bullet _ 65 \&é \ddot{\text{E}} _) \ddot{\text{A}} - (\ddot{\text{y}} \ddot{\text{A}}$

\cdot È yNÁ !ÿ ZNÁ&é : >P1/4 aB3 œ ?

$$\mathbf{U}(k) = \mathbf{W}(k) - \hat{\mathbf{W}}(k) \quad (3.21)$$

6,,0û ? (3.17) $\ddot{\text{A}}$ (3.18) $1/4$ (3.20) Ç

$$\mathbf{U}(k) = \mathbf{U}(k-1) + \mathbf{G}(k) - \frac{\mu \mathbf{X}^H(k) \mathbf{E}(k)}{P_X(k) + \xi} \quad (3.22)$$

$$\hat{\text{E}} \text{ y } \beta_f = \frac{\mu}{P_X(k) + \xi} \ddot{\text{E}}) : ? \text{T1} < \& _ 1/4 93 _ \text{Ç}$$

$$E[\|\mathbf{U}(k)\|_2^2] = E[\|\mathbf{U}(k-1)\|_2^2] + E_1 + E_2 + E_3 + \hat{\sigma}_G^2 \quad (3.23)$$

!] È $E_1 = \beta_f^2 E[\mathbf{X}^H(k) \mathbf{E}(k) \mathbf{E}^H(k) \mathbf{X}(k)] \ddot{\text{E}} E_2 = -2\beta_f E[\mathbf{U}(k-1) \mathbf{X}^H(k) \mathbf{E}(k)] \ddot{\text{E}}$

$\hat{\sigma}_G^2 = E[\|\mathbf{G}(k)\|_2^2] \ddot{\text{E}} E_3 = -2\beta_f E[\mathbf{X}^H(k) \mathbf{E}(k) \mathbf{G}(k)] \ddot{\text{A}}$

+a ? (3.17) $\ddot{\text{A}}$ (3.18) $\ddot{\text{A}}$ (3.20) $1/4$ (3.21) Ç

$$\mathbf{E}(k) = \mathbf{X}(k) \mathbf{U}(k-1) + \mathbf{X}(k) \mathbf{G}(k) + \mathbf{V}(k) \quad (3.24)$$

6 ? (3.24) • ? (3.23), '1\ $2 \text{N} \odot \ddot{\text{E}} \text{Y} + \text{X} \text{Isserlis} \hat{\text{E}}^* 6 \ddot{\text{E}} < \& \# , \ddot{\text{e}} = - (\text{£}, ' \text{N} \odot _ \text{Ç}$

$$E_1 = \beta_f^2 P_X P_V + (M_L + 2) \beta_f^2 P_X P_X \{ E[\|\mathbf{U}(k-1)\|_2^2] + P_G \} \quad (3.25)$$

6 ? (3.24) • ? (3.23), '1\ $3 \text{N} \odot \ddot{\text{E}} < \& \# , \ddot{\text{e}} = - (\text{£}, ' \text{N} \odot _ \ddot{\text{E}} _ \text{Ç}$

$$E_2 = -2\beta_f P_m(k) E[\|\mathbf{U}(k-1)\|_2^2] \quad (3.26)$$

6 ? (3.24) • ? (3.23), '1\ $4 \text{N} \odot \ddot{\text{E}} < \& \# , \ddot{\text{e}} = - (\text{£}, ' \text{N} \odot _ \ddot{\text{E}} _ \text{Ç}$

$$E_3 = -2\beta_f^2 P_X P_G \quad (3.27)$$

È y $\mathbf{M}(k) = E[\|\mathbf{U}(k)\|_2^2] _ 6 ? (3.23) (3.25) \text{Gý} _ \text{à} _ \bullet ? (3.21) \ddot{\text{E}} _ \text{Ç}$

$$M(k) = [1 - 2\beta_f P_X + (M_L + 2)\beta_f^2 P_X P_X]M(k-1) + \beta_f^2 P_X [P_V + (M_L + 2)P_X P_G] - 2\beta_f P_X P_G + P_G \quad (3.28)$$

$$j \quad \text{AñNÁ aG}} \cdot 0 ? \dot{E} \quad M(k)) \beta_f, ' , 1y \frac{3}{4} \quad 0$$

$$\frac{\partial M(k)}{\partial \beta_f(k)} = 0 \quad (3.29)$$

? (3.29), ' i j

$$\beta_f(k) = \frac{M(k-1) + P_G}{(M_L + 2)P_X [M(k-1) + P_G] + P_V} \quad (3.30)$$

$$+a \frac{3}{4}\beta_f(k) - \mathcal{E} \frac{3}{4}, 0 F! \bullet K^- \frac{1}{4}! " I F \dot{o} \quad \frac{1}{4} s - \quad \dot{E} p \quad ? \quad (3.28) \overline{7} - < \& \quad \text{Añ} \frac{1}{4} 65$$

$$6,, 8 \, 0 \, H \, \dot{E} \, \mathfrak{D} F O 1 \zeta \# , ' f \, \mathfrak{c} \, \dot{E} L \} \sim N \dot{A} \quad 1 \zeta \# , ' a G \} \cdot \ddot{A}$$

$$6 ? (3.28) \bullet 0 M \dot{E} y ? \quad (3.19)] \dot{E} \quad \zeta$$

$$\hat{W}(k) = \hat{W}(k-1) + \frac{M(k-1) + P_G}{(M_L + 2)P_X [M(k-1) + P_G] + P_V} X^H(k) E(k) \quad (3.31)$$

$$!] \quad M(k)) \ddot{A} N \dot{A} \& \acute{e} \$ \grave{a} \mathfrak{e} ? Y + X ? (3.28) \text{Añ} 1 \zeta \quad \ddot{E} V(k), ') \ddot{A} N \dot{A} \& \acute{e} \ddot{I} \cdot \quad \mathfrak{e} ? j$$

$$P_V = \gamma P_V(k) + (1 - \gamma) |V(k)|^2 \quad (3.32)$$

$$D(k), ') \ddot{A} N \dot{A} \& \acute{e} \ddot{I} \cdot \quad \$ \grave{a} \mathfrak{e} ? j$$

$$P_D(k) = \gamma P_D(k) + (1 - \gamma) |D(k)|^2 \quad (3.33)$$

$$Y(k), ') \ddot{A} N \dot{A} \& \acute{e} \ddot{I} \cdot \quad \$ \grave{a} \mathfrak{e} ? j$$

$$P_Y(k) = \gamma P_Y(k-1) + (1 - \gamma) |Y(k)|^2 \quad (3.34)$$

$$i \, \check{z} ? \quad (3.16) \text{Añ} 1 \zeta \overline{G}(k)) \ddot{A} N \dot{A} \& \acute{e}, ' \ddot{I} \cdot \quad j$$

$$P_G = |\hat{W}(k) - \hat{W}(k-1)|^2 \quad (3.35)$$

3.3 性能评估

3.3.1 实验条件

\1 \hat{P} \frac{1}{4} p M 0 A \hat{i} 7 j d D 1 D A \grave{a} \backslash T \ddot{O} \{ N p \dot{E} \quad \frac{1}{4} @ \P \hat{I} L u j \ddot{Y} ; \quad \# , L " \dot{E} \varnothing A \hat{o} ` \P

MATLAB \- O \hat{P} \frac{1}{4} \ddot{A} p \bar{+} X T \ddot{O} \{ N p \frac{1}{4} \mathfrak{e} \quad \sim + e \mathcal{E} \quad \sim 1 V 8 I T U - T \quad * A p P . 340 \ddot{A} \backslash \# \{ B < - Z

G \div + X T U - T \quad * A p P . 501] ? \hat{o} \dot{E}, ' (\mathfrak{C} \dot{E} \# \{ B \quad ' \dot{E} v _ F J E \div i \quad \hat{P} \frac{1}{4} j \ddot{Y} 7 - O 9 \zeta \zeta D (\mathfrak{C} \dot{E}

\# \{ B \, 0 \, g , ' x \grave{I} \ddot{A} \quad 5 F 0 ; B @ 0 j C B @ 0 \dot{E} \mathcal{E} \quad _ 9 ! (\mathfrak{C} D G \S \bar{-} \, I 3 \, \frac{1}{4} W i n 7 \, 3 + 5 \, \dot{E} L \ddot{o} \, @) \beta \, ^3 j

3.3.3 ERLE 和 SER 测试

ò63 ITU-T *Aþ G.168],´ ý 4 •6G Î j (Echo Return Loss Enhancement, ERLE) È Ê y " (Signal Echo Ratio, SER) \8²#{B ¶ = < š" õ å ; 3] = < !• K-,´ NLMS 1Ç# ¼iF 1Ç# ...Aâ ' & ;,´ ERLE ¼ üAâ ' & ;,´ SER Ä wAîF 1 G÷Lö ' j d(n) È4ß ð \`B\$B ê ' j s(n) È4*65 ì j e(n) Ä...Aâ & ERLE œ ? j

$$\text{ERLE} = 10 \log_{10} \frac{E[d^2(n)]}{E[e^2(n)]} \quad (3.36)$$

üAâ & SER œ ? j

$$\text{SER} = 10 \log_{10} \frac{E[s^2(n)]}{E[(s(n) - e(n))^2]} \quad (3.37)$$

6 [#(B NLMS 1Ç# Güµ 0.1 Æ 0.6 ¼ 1 ' & ¼ iF 1Ç# F > |)" Æ P¼ ž ² . p/j Ä

>~ 3.1 ...Aâ ' & ; 41Ç# ERLE

Tab.3.1 ERLE of All Algorithm on single talking

1Ç#	EÄ • š"			
	5dB	10dB	15dB	20dB
µ = 0.1	10.97	17.94	25.11	30.56
µ = 1	10.28	16.85	24.96	29.87
µ = 0.6	11.18	18.16	26.24	31.68
iF 1Ç#	11.44	18.69	26.80	32.83

>~ 3.2 üAâ ' & ; 41Ç# SER

Tab.3.2 SER of All Algorithm on double talking

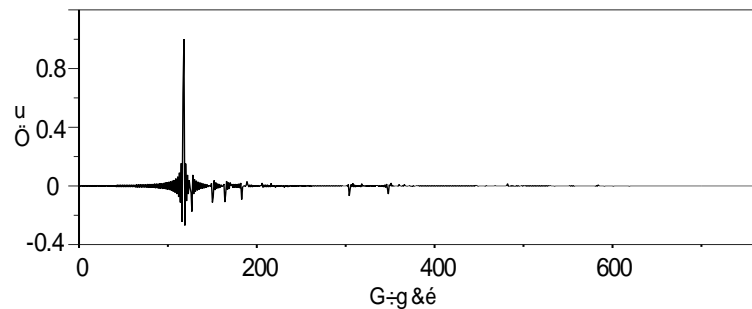
1Ç#	EÄ • š"			
	5dB	10dB	15dB	20dB
µ = 0.1	1.03	2.74	6.59	8.50
µ = 1	1.01	2.72	6.55	8.35
µ = 0.6	1.05	2.81	6.74	8.90
iF 1Ç#	3.70	7.66	11.92	14.71

FJE÷ 6 Ä>~ 3.1 ¼>~ 3.2 . È • 1Ç# Aê ...Aâ ' & ;F _ üAâ ' & G-7-9ç Ç8ÿ - ,´ x ì Ä NLMS 1Ç# Xα 0.6 & 7-9ç Ç = K I,´ x ì Ä X ~ š" & 4 Z 1Ç# α f È

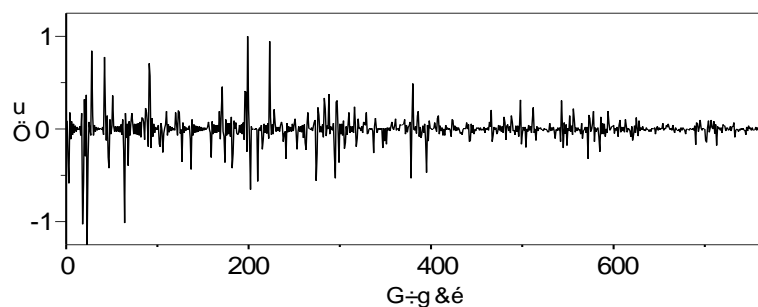
Q š" & ÈiF 1Ç# X ...Aâ õ â x Ì w => n È X üAâ ' & ;" ! 1Ç# x Ì w
> n Ä

3.3.4 归一化失配率

\8²G÷+X /-O ÎP¼ ÈF9 T/ý = <,' D ' Æ j Z. 3+5 È ... } â + ý Ä² . p
/j ÈK⁻ Ö F9j 768È /-O ÎP¼ & 8 F2 Ä% # ~K⁻ Ö • _ 768ÄF & j 6 ‡NÁ 8 F2 Ä
% # 1Ç# JAî5ž ‡ M_L = 12 È6< D!ÿ ‡K⁻ ÖF9 j 64È<-f)EÄ • 'F >| ¶ à ‡ ‡
b6,, 4*6 È v _ W0Ç 0+ Ø & ‡ j ... } È p B % # ~ 1y xK⁻ Ö j 768ÄF g a
)" 41Ç# !ÿ!QAN1Ç Ç ` sGý3+ D -O Î oL\$ â + ý Ä Ä08\ § 9 >~ W, ' oL\$ â + ý
Ä². 3.6 p/j ÈF _ ~\$' ý &K⁻ F J1y0; Ö\$' ý, ' oL\$ â + ý Ä Ä . 3.7 _8ç “ â +
ý Ä È>~j ý 47-Gÿ p • » , W ÈF T/ý ý Ä - w+a Image Q » X MATLAB 2010
;+O @ Ä



. 3.6 00+¿ â + ý Ä
Fig. 3.6 Sparse Impulse Response



. 3.7 8ç “ â + ý Ä
Fig. 3.7 Dispersive Impulse Response

j ¶ > 'Gÿ1Ç# , 'F-DZ7- È È 6 [AÑ1Ç 41Ç# X p 9 & k , ' , 0 F aG}} . (Normalized Misalignment, NM)È wAî D ' â + ý Ä , ' - O Î I ¼ # {Gÿ I 6 [_ h(n) ¼ ĥ(n) È Ó x ò63 ITU-T G.168 • AÞ Ê y NM > ã Ê ? j

$$NM = 10 \log_{10} E \left(\frac{\|h(n) - \hat{h}(n)\|^2}{\|h(n)\|^2} \right) \quad (3.38)$$

/-O5 Ì FJE ÷ 5 , 8 £ w 50 !QB P¼9ç Ç È Õ ; •F-DZ P5 NMLS ¼ \ · iF 1Ç# , ' , 0 F aG}} . È P5 é# FJE ÷ F9 = < ò Ç ` 9/ý = < 5 Ì È # {B ' D ' ò å & F9 + X , ' â + ý Ä² . 3.6 ¼ 3.7 p/j Ä1\ 04ô ÎP¼Aî Ê X 200 & ' D ' È p 9 & k , ' , 0 F aG}} . "4ï² . 3.8 p/j È 1\ ¼4ô ÎP¼Aî Ê X 100 & Ð • \ `B\$B ê N# È £ +O üAâ ò å Ä ...Aâ ¼ üAâ ÎP¼F-DZ 0 F aG}} . "4ï² . 3.9 p/j Ä

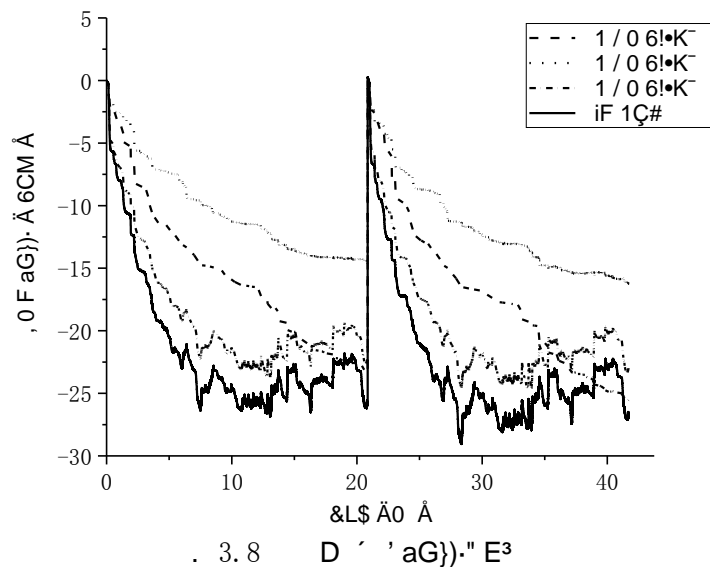


Fig. 3.8 Normalized Misalignment Comparison of Different Echo Paths

F-DZ , 0 F aG}} . > n , ' - ; * 4 Z1Ç# X = < & k , ' f < ò å È • - ; * f D ' 0± & È ½!Q ` f < (æ 1 pM0?± , ' &L\$ ú0c Ê W Ä p . 3.8] - ; * i F 1Ç# X ¶ Z# {B &L\$!âG- _ f < FO Õ 0 , ' È ! D0c Ê W • E³ j È f D ' +O0± & È , 0 F aG}} . ½!QL} ` -15dB òM0?±1-20 È _# {B , ' p 9 é#] +X & 0 A , ' Ä ? ò Aî Ê = < ò & P 5 NLMS 1Ç# < -f • 7- OF@!•Eî ` f < , ' x Ì È v _ +X & G- " E³ K⁻ È ! D p f < C » i : • - ; ! ³1Ç# "Ñ 9 iF 1Ç# , ' 0c Ê WQ Ä

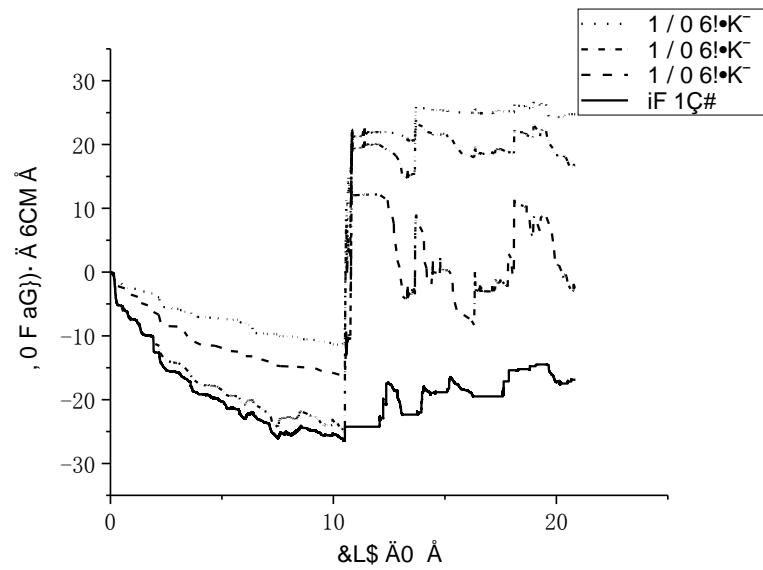


Fig. 3.9 Normalized Misalignment Comparison of Singletalking and Doubletalking

FJE÷ :F ÎP¼ . Ç * iF 1Ç# X ...Ââ ¼ üÂâ ' & ; " = < ò , ' P5 NLMS 1Ç
 # , 0 F aG)) · ? È T ! _ f üÂâ *)à & È P5 NLMS 1Ç# , Lî f < È6< iF 1Ç# ý
 7- O f < È • a _B\$ iF 1Ç# 7- O X üÂâ *)à & ý 9ç Ç8Ÿ - , ' # , L"7- È Ä

4 改进 LCMV 结合 WPF 波束成形算法

4.1 波束成形算法

4.1.1 波束成形最优权重矢量

$$Y+X \text{ JD FJFfG} \div \text{L} \ddot{\text{ö}} \text{ ` JD ' ÉFJE} \div) = < \text{ ' , ' Ð s"r } \frac{1}{4} \text{ È } \bar{\text{Le G}} \# \bullet \text{ k+ } 7 \text{ A}$$

$$\text{O K é A È } \tilde{\text{n}} + \frac{1}{4} \text{ M \& L } \S \} 5 \text{ ž } 7 \text{ A } \phi \text{ é A È } \text{p6} < \bar{\text{O K é A Ç ` Î j È } \bar{\phi} \text{ é A Ç `}$$

$$\text{Á f È F a } _ \# \bullet @ \text{ ' } \circ _ \ddot{\text{A w ÈE}} \tilde{\text{A}} * \text{ ' AG} \ddot{\text{y j}} \quad x(n) \text{ È Ð s AG} \ddot{\text{y j}} \quad h_{opt}(n) \text{ È } \pounds$$

$$y(n) = h_{opt}^H(n)x(n) \quad (4.1)$$

$$^2 \grave{\text{ì}} + \text{X } \textbf{R}_{xx} > \sim \text{ / jE} \tilde{\text{A}} \bullet \text{ ' , ' 8 - (} \pounds . \text{ Le È l } \# \bullet @ \text{ ' , ' E} \tilde{\text{A}} * \pounds \text{ w } \ddot{\text{I}} \text{) } \cdot > \sim \text{ / j j}$$

$$P = h_{opt}^H \textbf{R}_{xx} h_{opt} \quad (4.2)$$

$$\text{Ê y h j } \lambda \text{ È O K é A. G} \ddot{\text{y j}} \quad a(\theta_0) \text{ È Y+X H F } \frac{1}{4} 4 \ddot{\text{r W}} \quad . \text{ Aö "r Ç 0 H sG} \acute{\text{y. G}} \ddot{\text{y}}$$

$$> \sim \text{E} \hat{\text{I}} ?$$

$$h_{opt} = \lambda \textbf{R}_{xx}^{-1} a(\theta_0) \quad (4.3)$$

$$\text{F g a7- AñLe G! " h } \ddot{\text{O f}} \quad \theta_0 \text{ é A, ' B N} \# \text{ ' È Á f ! } \text{ é A, ' ' Ä}$$

$$6 ? (4.3) \text{ Ç ` , ' sG} \acute{\text{y. G}} \ddot{\text{y V }} \bullet 4 \ddot{\text{Ö }} \bullet \text{ ' \& "r Ç h j}$$

$$\lambda = \frac{1}{a^H(\theta_0) \textbf{R}_{xx}^{-1} a(\theta_0)} \quad (4.4)$$

$$6 ? (4.4) \text{ V } \bullet ? (4.3) \text{ Ç}$$

$$h_{opt} = \frac{\textbf{R}_{xx}^{-1} a(\theta_0)}{a^H(\theta_0) \textbf{R}_{xx}^{-1} a(\theta_0)} \quad (4.5)$$

4.1.2 MVDR 算法

$$\text{MVDR } 1 \text{ Ç } \# \text{ k? } \pm \text{ M } \# _ \text{ Añ O K é A } \theta_0 \text{ ' a-O È } \bar{\text{E}} \tilde{\text{A}} * \text{ k } \ddot{\text{I}} \text{) } \cdot 0 ? \text{ È F g a}$$

$$7- \text{ Añ š } \frac{1}{4} \phi \text{ Ç ` Á f } \ddot{\text{A}} \quad \text{Ê y sG} \acute{\text{y. G}} \ddot{\text{y j}} \quad w(n) \text{ È O K é A. G} \ddot{\text{y j}} \quad a(\theta_0) \text{ ÈE} \tilde{\text{A}} \bullet \text{ '}$$

$$\text{ , ' 8 - (} \pounds . \text{ Le } _ \quad \textbf{R}_{xx} \text{ È IB } 1 \text{ Ç } \# \text{ ' - j}$$

$$\begin{cases} \min_w w^H \textbf{R}_{xx} w \\ \text{s.t. } wa(\theta_0) = 1 \end{cases} \quad (4.6)$$

$$\text{E+X} \lambda \text{ F 0 h È } \grave{\text{o}} 6 3 \text{ G I G } \wedge \text{ € } \# \text{ Ê y}$$

$$J = \frac{1}{2} w^H \textbf{R}_{xx} w + \lambda [1 - w^H a(\theta_0)] \quad (4.7)$$

"r : ? ß Ö È ! , 1y ¾ 0 Ç

$$\frac{\partial J}{\partial \mathbf{w}} = \mathbf{R}_{xx} \mathbf{w} - \lambda \mathbf{a}(\theta_0) = 0 \quad (4.8)$$

"r@ Ç sGý. Gÿ>~Eî ?

$$\mathbf{w} = \lambda \mathbf{R}_{xx}^{-1} \mathbf{a}(\theta_0) \quad (4.9)$$

6 ? (4.9) • ? (4.6), '4Ö • ' &] "r * h j

$$\lambda = \frac{1}{\mathbf{a}^H(\theta_0) \mathbf{R}_{xx}^{-1} \mathbf{a}(\theta_0)} \quad (4.10)$$

6 λ V • ? (4.9) Ç 04ø Ð s AGÿ j

$$\mathbf{w}_{MVDR} = \frac{\mathbf{R}_{xx}^{-1} \mathbf{a}(\theta_0)}{\mathbf{a}^H(\theta_0) \mathbf{R}_{xx}^{-1} \mathbf{a}(\theta_0)} \quad (4.11)$$

4.1.3 LCMV 算法

}M' `E÷ È8 F2 Ä# • @ '1Ç# G÷+XF 1Ç# • \$ à sGý, ' é ? ÈF 7- O Añ3+
5 EÃ *E³Q ç š" Äv _Fw` O K • # é A `AÑ =2î.ž õ â & ÈB 1Ç# W7- 6 U — ;
L} È j ¶ iF ! " 4 È Î Ð4Ö • ' & ÈF a _ LCMV # • @ '1Ç# Ä
LCMV 1Ç# _ X MVDR 1Ç# *.p : Î Ð4î W4Ö • ' & 6< • , ' È ! 9ç Ç \$ 9 x
, ' š ¼ ç Á f x Ì È ³ _ 0/ý7- O) ' F > | Î & 4*6, '1Ç# ÄB 1Ç# k?± M #F
_FJE÷ = ÝF \$ à % # ~ Ð s3+ È Ç3+5) O K é A 'NÁ ý Añ = È < & ^
EÃ * '] š ¼ ç , ' Ì) . 0 ? Ä

LCMV # • @ '1Ç# , Ž ¾ é A4Ö • # È Ê y a_s _ ' é A. Gÿ È œ ? ² ;

$$\begin{cases} \min_{\mathbf{w}} \mathbf{w}^H \mathbf{R}_{xx} \mathbf{w} \\ \text{s.t. } \mathbf{C}_k^H \mathbf{w} = \mathbf{f}_k \end{cases} \quad (4.12)$$

: ?] $\mathbf{C}_k = [\mathbf{a}(\theta_0), \mathbf{a}(\theta_1), \dots, \mathbf{a}(\theta_{k-1})]$ È !5\$ Ö _ M × k È k _4Ö • ' & , ' Z Ä

"r@ ? (4.12) Ç

$$\mathbf{w}_{LCMV} = \mathbf{R}_{xx}^{-1} \mathbf{C}_k (\mathbf{C}_k^H \mathbf{R}_{xx}^{-1} \mathbf{C}_k)^{-1} \quad (4.13)$$

EÃ • 'FJE÷Le G & F > • ^ 4*6 > ÈF &)!ÿ Z – P O ~6<@0³ , ' # ' _-(<
, ' Èœ f, ' 4*61y x ¾4ÿE÷ 0 ZLf j K, ' 9LEK~% # ~ Èÿ Z% # ~ ÎLu : a _ M Lf
& F í d3+ ÄFÓ xF È% # ~3+ % Cã K Z4Ö • ' & È Î Ð4Ö • ' & _ (ª(ç8 +a Ö
j ' , ' ÈF g 7- JL} ~1Ç# #, L" š ¼ ç , ' W7- ÈB 1Ç# , ' AÑ1ÇGÿ _+a. Le"rF6
ã Ê, ' ÈAÑ1ÇGÿ j O(M³) Ä

4.1.4 GSC 结构

X P5 , '# • @ ' * . p : E • Lk Ž . Le (Block Matrix, BM) a ' @ GSC5 ' ¶ È
 ² . p / j È D X ! > , ' _ 8 F2 Ä š ä # , Q ‡ (Adaptive Noise Cancellation) Ä GSC5
 ' 68 F2 Ä # • @ '] V4Ö • H FL NÈ È W f : 6 j T ' 4i
 D È k F J F f j P5 & F " r ¼ E ÷ 0 ; È Ÿ F J F f C O C S 8 F2 Ä B 3 æ E ÷ 0 ; Ä X 8 F2 Ä G 6 Ð • Lk Ž
 . Le 64Ö • ' & p 3 + 5] 6 / ë * • È £ Ÿ A O K " ô M b ` E µ Ù F J F f , ' @ 6 È * È
 # • @ ' , ' æ ? ò ' — æ ? (4.1) Ä

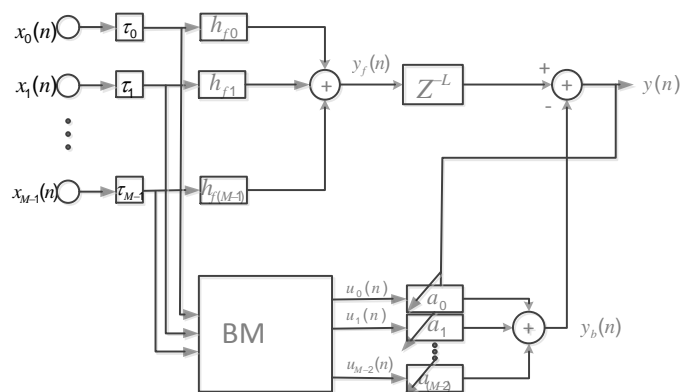


Fig. 4.1 The Structure of GSC

. 4.1] ANC _ 0 Z 9 L € K % # ~ È BM Q ‡ ... s _ j ¶ % L " O K é A : , ' ' È
 A ñ ! E Ä * ò ò 9 ç ¼ š Ä P5 # • @ ' _ & L \$ & F > • - È 6 < GSC5 ' E • , '
 BM ... s l Ÿ G s 3 P { ¼ j 0 È F a 7 - A ñ E Ä * = 5 [O K é A ' @ 6 È w È 4 Ÿ BM >
 ' @ u(n)

$$\mathbf{u}(n) = \mathbf{h}_b^T \mathbf{x}(n) \quad (4.14)$$

È y \mathbf{b}_m^T j \mathbf{h}_b^T , ' 1 \ m > | A G Ÿ È \mathbf{I}_1 _ 0 Z G A G Ÿ È D ~ G s 3 P j 1 È F Ó x ! Ä % C ä ² ; , '
 &

$$\mathbf{b}_m^T \mathbf{I}_1 = 0 \quad (4.15)$$

< g È È y k F J F f % # ~ s G ý . G ý j Ä $\mathbf{h}_f(n)$ È ! Ä B % C ä ; ?

$$\mathbf{h}_f(n) \mathbf{I}_1 = 1 \quad (4.16)$$

È y A G Ÿ G ü s 3 P Z _ M È E µ Ù F J F f % # ~ , ' 3 + A G Ÿ j \mathbf{a}_{BM} È + a ¾ \mathbf{b}_m^T _ - (Â) 0 û , ' È
 p $\mathbf{u}(n)$ 0 J + a M - 1 Z 4 i W) 0 û s 3 P ' @ È { > ' @ ² ; ' ?

$$y_b(n) = \mathbf{a}_{BM}^T \mathbf{u}(n) \quad (4.17)$$

$$w \hat{E} kFJFf, 'E\tilde{A} * j \quad y_f(n) \hat{E} 04\emptyset 3+5 E\tilde{A} * \quad F \quad g > \sim /j$$

$$y(n) = y_f(n) - y_b(n) \quad (4.18)$$

$$\begin{aligned} : ?], ' \quad y_b(n) \tilde{o} \tilde{o} 5 [\phi \quad \frac{1}{4} \tilde{s} \quad @ \quad 6 \hat{E} = 5 [O \quad K \acute{e} A, ' \quad ' \hat{E} F \quad g_{3+5}, ' E\tilde{A} * _ \\ 1V \quad 8 \quad x \}, ' 4\ddot{O} \quad \bullet, ' \hat{E} \mathcal{L} O \quad K \acute{e} A \quad ' \quad 1 = \quad \tilde{A} \acute{A} f \{ \} ^3 \acute{e} A \quad ' \hat{E} E\tilde{A} * 5 \quad \hat{I}] < \& 5 \\ [kFJFf \quad \frac{1}{4} E_{\mu} \quad \hat{U} FJFf) \quad ', ' 4 * 6 \tilde{B} \quad GSC5 \quad ' M0 ? \pm B3 \quad \Re E_{\mu} \quad \hat{U} FJFf \% \# 3 + \quad A G \ddot{y} \mathbf{a}_{BM}^{-} \\ \mathcal{C}_{3+5} E\tilde{A} *] \tilde{s} \quad ', \tilde{I}) \cdot 0 ? \hat{E} \{ >, ' \mu \acute{e} \hat{u} 4 \acute{y}, ' \quad LCMV \quad \acute{e} \# \quad \bullet 9 F \quad g, ' ? \pm " r \tilde{A} \\ \hat{E} \quad y \quad \mu_g \quad j \quad 0 \quad h \quad \hat{E} \quad k \quad 93 \quad \$ \quad p \quad 0 \quad ` \quad M - 1 \quad \hat{E} \quad A N C \quad Q \quad \ddagger] \% \# \quad \sim 3 + \quad F \quad \acute{o} \quad ? \quad ? ; \end{aligned} \quad (4.19)$$

k5 Ç È œ ? (4.16) Ä(4.17) ¼ œ ?(4.19) ' @ ¶ GSC5 ' È Î)à ¶ å#, ñ+, '#
 • @ ', ' Î7- ÄB 5 ' k?± ÍÇ†Eμ ÛFJFf, ' BM ¼ P5 # • @ ', ' &F "r ¼ ÈEμ ÛFJFf
 , ' BM ... sLb!' O K "ôMb` y_b(n) È Añ ¶Eμ ÛFJFf, 'EÃ * õ 5 [ϕ ¼ š @ 6 È
 Î)à`y ñ+ -(#, ?8 F2 Ä# • @ '1Ç# Ä GSC5 ') BM ¼ kFJFf%# sGý. Gý 9 0
 È?±"r È ò— :F œ ? . Ä!" F È f BM Q ‡] h_b(n), 'ÿ Z G A G ý _!" Ô £3+ & È
 GSC a @ ¶ LCMV 1Ç# Ä² ì = % Cã :F ' & È ?± Í 4 ¾ £0c(œ 1 ; ÈB 5 '
 Í 7- Î)àL} š, ' x ì È õ õ _8 F2 ÄE~F) 9 p i Ä üFJFf GSC 5 'G÷+X TFJFf &
 &)U€-(ÿ, '1° ... é# ÈF g Š J, 8\$ BM EÃ *5 ì =*6 # È(© [_ X ' > ϕ •#
 é A ÕF, ' õ å ; È ϕ ¼ š • J>Û% L" ÈF g a UGý i ý ¶`y ñ+ -(#, ' W7- Ä
 ÎP¼E÷0;] A)à È GSC5 'G} 8 * Ê# • @ ', 'B N# Îj x ì = > n ÈB< DLk Ž.
 Le, 'F9 ,Gý?± Èh?ô, ' F9 1 ¼-1, ' Š# JFP @ 0 È, "ôMb ËB é# F M0F 0!•.D0! Ä

4.2 基于 LCMV 和后置滤波的波束成形算法

4.2.1 改进的自适应波束成形

OÆ x X. & μGü & ' +X ;M', ' Q » • ÿF \$À 6/ë ¼B N# Îj, 'L NÈ Èw
 Aîl >~W ' È k >~NÁ).3R E ÈwAî)à X 9 M ZB\$B ê, 'B N#>ÛN ZTÖ {NpG÷Lö` È
 < &+X X_{i,m}(l,k) >~ /j \$À m>ÛTÖ {NpG÷Lö`, 'B N# ' È V_i(l,k) >~ /j TÖ {Np i G÷Lö`, '
 6ü ÿ š ÈFÓ x TÖ {Np i G÷Lö, ' ' j

$$Y_i(l, k) = \sum_{m=1}^M X_{i,m}(l, k) + V_i(l, k), \quad i = 1, 2, \dots, N \quad (4.20)$$

Ê y £0c(æ 1 ;1\ m Z ê `1\ i ZTÖ {Np, ' j PFB - j $G_{i,m}(l,k)$ È < & wAî
\$À ' j $S_m(l,k)$ ÈFÓ xTÖ {NpLe G Õ f, ' '. Gÿ j

$$\begin{aligned} y(l,k) &= [Y_1(l,k) Y_2(l,k) \dots Y_N(l,k)]^T \\ &= \sum_{m=1}^M \mathbf{x}_m(l,k) + \mathbf{v}(l,k) \\ &= \sum_{m=1}^M \mathbf{g}_m(k) S_m(l,k) + \mathbf{v}(l,k) \\ &= \mathbf{G}(k) \mathbf{s}(l,k) + \mathbf{v}(l,k) \end{aligned} \quad (4.21)$$

? (4.21)] Gÿ Ê y²; È

$$\mathbf{x}_m(l,k) = [X_{1,m}(l,k) X_{2,m}(l,k) \dots X_{N,m}(l,k)]^T \quad (4.22)$$

$$\mathbf{v}(l,k) = [V_1(l,k) V_2(l,k) \dots V_N(l,k)]^T \quad (4.23)$$

$$\mathbf{g}_m(k) = [G_{1,m}(k) G_{2,m}(k) \dots G_{N,m}(k)]^T \quad (4.24)$$

$$\mathbf{G}(k) = [\mathbf{g}_1(k) \mathbf{g}_2(k) \dots \mathbf{g}_M(k)] \quad (4.25)$$

$$\mathbf{s}(l,k) = [S_1(l,k) S_2(l,k) \dots S_M(l,k)]^T \quad (4.26)$$

Y+X? (2.3) ¼ ? (2.4) È% # >B N# ' >~ /j j

$$s_F(l,k) = [G_{1,1}(k) S_1(l,k) G_{1,2}(k) S_2(l,k) \dots G_{1,M}(k) S_M(l,k)] \quad (4.27)$$

Y+X H F, ' MMSE ö I `AÑ% # >B N# ' $s_F(l,k)$ È j ¶ ï ¾ Ø , Gý ÉLe G
Õ f ' Q »

$$\begin{aligned} y &= \sum_{m=1}^M \frac{\mathbf{g}_m}{G_{1,m}} G_{1,m} S_m + \mathbf{v} \\ &= \sum_{m=1}^M \tilde{\mathbf{g}}_m S_{F,m} + \mathbf{v} \\ &= \tilde{\mathbf{G}} \mathbf{s}_F + \mathbf{v} \end{aligned} \quad (4.28)$$

;M' û4ý $\tilde{\mathbf{G}}$, ' AÑ1Q# È wAî)à X 9 0 Z ê õ ' ; È : ? Ç *TÖ {Np 1 ¼TÖ {Np
n G÷Lö ` , ' ' >~ Êî ?

$$y_{1,1} = G_{1,1} S_1 + V_1 \quad (4.29)$$

$$y_{n,1} = G_{n,1} S_1 + V_n \quad (4.30)$$

6,,0û :F T ?# , ë S₁ Ç `

$$\begin{aligned} y_n &= G_{n,1} \frac{y_1 - V_1}{G_{1,1}} + V_n \\ &= \frac{G_{n,1}}{G_{1,1}} y_1 + V_n - \frac{G_{n,1}}{G_{1,1}} V_1 \\ &= \tilde{G}_{n,1} y_1 + V_n - \tilde{G}_{n,1} V_1 \end{aligned} \quad (4.31)$$

$$\hat{E} y U_n = V_n - \tilde{G}_{n,1} V_1 \quad \text{ÈFÓ x : ? @}$$

$$y_n = \tilde{G}_{n,1} y_1 + U_n \quad (4.32)$$

$$1y ? TEé < \& \frac{1}{4} y_1 \quad \hat{A} - (\& \zeta$$

$$\Phi_{y_n y_1} = \tilde{G}_{n,1} \Phi_{y_1 y_1} + \Phi_{U_n y_1} \quad (4.33)$$

$$\begin{aligned} \hat{E} y \hat{\Phi}_{y_n y_1} \tilde{A} \hat{\Phi}_{y_1 y_1} \frac{1}{4} \hat{\Phi}_{U_n y_1} \quad 6 [j \quad \Phi_{y_n y_1} \tilde{A} \Phi_{y_1 y_1} \frac{1}{4} \Phi_{U_n y_1}, ' \backslash \text{AÑ} \mid \hat{E} \quad + a \frac{3}{4} U_n = 7 - - \$ \tilde{O} 9 \zeta \\ \zeta \hat{E} \hat{E} y \frac{3}{4}) \tilde{A} \backslash \text{AÑ} \mid \{L \$, 'B \quad j \quad \varepsilon_n \hat{E} w \hat{A} \hat{B} \quad \varepsilon_n \% C \tilde{a} 0 \quad w \mid Q \quad \beta \quad 6 \quad 3 \quad \hat{E} \quad ? (4.33) \\ F \quad 1^\circ j \end{aligned}$$

$$\hat{\Phi}_{y_n y_1} = \tilde{G}_{n,1} \hat{\Phi}_{y_1 y_1} + \Phi_{U_n y_1} + \varepsilon_n \quad (4.34)$$

$$F9 \quad F5, ' \quad L \quad W \quad \hat{E} \quad FJE \div ; M', ' \quad \text{œ} ? \quad Y + X \quad 0 ? \quad \frac{1}{4} \hat{\#} " r @ \quad \tilde{G}_{n,1}$$

$$\begin{bmatrix} \hat{\Phi}_{y_n y_1}^{(1)} \\ \hat{\Phi}_{y_n y_1}^{(2)} \\ \cdot \\ \cdot \\ \cdot \\ \hat{\Phi}_{y_n y_1}^{(L)} \end{bmatrix} = \begin{bmatrix} \hat{\Phi}_{y_1 y_1}^{(1)} \\ \hat{\Phi}_{y_1 y_1}^{(2)} \\ \cdot \\ \cdot \\ \cdot \\ \hat{\Phi}_{y_1 y_1}^{(L)} \end{bmatrix} \begin{bmatrix} \tilde{G}_{n,1} \\ \Phi_{U_n y_1} \end{bmatrix} + \begin{bmatrix} \varepsilon_n^{(1)} \\ \varepsilon_n^{(2)} \\ \cdot \\ \cdot \\ \cdot \\ \varepsilon_n^{(L)} \end{bmatrix} \quad (4.35)$$

$$04\emptyset \zeta \backslash ; \quad ?$$

$$\tilde{G}_{n,1} = \frac{\overline{\hat{\Phi}_{y_1 y_1}} \overline{\hat{\Phi}_{y_n y_1}} - \overline{\hat{\Phi}_{y_1 y_1}} \cdot \overline{\hat{\Phi}_{y_n y_1}}}{\overline{\hat{\Phi}_{y_1 y_1}^2} - \overline{\hat{\Phi}_{y_1 y_1}}^2} \quad (4.36)$$

$$\begin{aligned} ? (4.36) \mid \ddot{y} \quad 0N \textcircled{C} : \quad \acute{e}, ' \quad Z4 \ddot{i} > \sim / j F5 \quad L \quad W \quad \& \quad w \quad \hat{E} \quad L, ' \quad ID \quad 'G \div g) \cdot \frac{1}{4} G \acute{y} \quad 6 \\ W \quad 9 \quad \& \quad \hat{E} \quad \backslash \cdot \hat{I} P \frac{1}{4} \& \quad L \quad j \quad 20 \tilde{A} \quad w \hat{A} \hat{s}_F \quad \frac{1}{4} y \quad _ \quad 0 \quad w \mid = Q \quad \beta L \zeta \quad j \quad G \ddot{y} \quad \hat{E} \quad Y + X \quad MMSE \quad \ddot{o} \\ \mid \backslash \text{AÑ} \quad s_F \quad \hat{E} \quad Y + X \quad H F \quad \acute{e} \# \quad \zeta^2 ; \quad \text{œ} ? \end{aligned}$$

$$\operatorname{argmin} E\{\|\hat{s}_F(y(l, k)) - s_F(l, k)\|^2\} = E\{s_F(l, k) \mid y(l, k)\} \quad (4.37)$$

$$w \hat{A} \hat{\Phi}_{s_F} _ s_F, ' \backslash \text{AÑ} \mid \hat{E} \quad \mid s_F \quad G \acute{y} \quad \grave{a} \dots 0 \quad @ \quad ? (4.38) \tilde{A}$$

$$\begin{aligned}\hat{s}_F &= E\{s_F y^H\} \times E\{y y^H\}^{-1} y \\ &= \Phi_{sF} \tilde{G}^H \times [\tilde{G} \Phi_{sF} \tilde{G}^H + \Phi_v]^{-1} y \\ &= (I + \Phi_{sF} \tilde{G}^H \Phi_v \tilde{G})^{-1} \Phi_{sF} \times \tilde{G}^H \Phi_v^{-1} y\end{aligned}\quad (4.38)$$

Y+X ?(2.5) , *

$$\ddot{A}I + AB \mathring{A}^1 A = A(A + B^{-1})^{-1} B^{-1} \quad (4.39)$$

$$6 \ A = \Phi_{sF} \quad \mathring{E} \ B = \tilde{G}^H \Phi_v^{-1} \tilde{G} \quad V \bullet \quad \mathfrak{C} \quad ?(4.38) \quad \mathfrak{C}$$

$$\hat{s}_F = \Phi_{sF} (\Phi_{sF} + (\tilde{G}^H \Phi_v^{-1} \tilde{G})^{-1})^{-1} \times (\tilde{G}^H \Phi_v^{-1} \tilde{G})^{-1} \tilde{G}^H \Phi_v^{-1} y \quad (4.40)$$

: ? #Eé, ' } zG 6 _ LCMV Ð s3+ È ³ _ 0 Z N × M , ' . Le. Gÿ È > zG 6 _ J
FJFf5\$4ã% # ~ , ' 3+ È ³ _ 0 Z M × M , ' . Le. Gÿ Ä f š Ba ö Ö. Le Φ_v F6 & È
: ? } 9 x È fB\$B ê - A ¾TÖ {Np Gÿ & È j PFB - % Cã(Â) 0û, ' ' & Ä
* ¾ LCMV , ' # • @ ' œ ? ² ;

$$\begin{cases} H_{LCMV} = \operatorname{argmin} \operatorname{tr}[H^H \Phi_v H] \\ \text{st. } H^H \tilde{G} = I \end{cases} \quad (4.41)$$

FJE÷"r@ Ç

$$H_{LCMV} = \Phi_v^{-1} \tilde{G} (\tilde{G}^H \Phi_v^{-1} \tilde{G})^{-1} I \quad (4.42)$$

LCMV Ð s. Gÿ _ 0 Z N × M , ' . Le È 6 : ? ¼G÷Lö, ' Le G ' NÁ) Ä-(^ Ç M
D 6/ë >, ' B N# ' Ä

4ÿE÷LCMV 4*6 > ! » + % ò š ï) . ² ;

$$\begin{aligned}\Phi_{v,RE} &= E\{v_{RE} v_{RE}^H\} \\ &= H_{LCMV}^H \Phi_v H_{LCMV} \\ &= (\tilde{G}^H \Phi_v^{-1} \tilde{G})^{-1}\end{aligned}\quad (4.43)$$

wAî!ÿ ZB\$B ê X £0c(œ 1 ; _ -(Â) 0û, ' ÈY+X iF , ' é A ã Ê# • ` AÑ Φ_{sF} ^[58] È

œ ? ² ;

$$\hat{\phi}_{S_F,n} = \beta_r |s_{LCMV+WPF,n}(l-1)|^2 + (1-\beta_r) \max\{|s_{LCMV,n}(l)|^2 - \phi_{v,RE,n}, 0\} \quad (4.44)$$

: ?] β_r _ 0 Z h ÈF Gü 0.95Èl > ~ W ' Ä i ž ? (4.40) Ç JB\$B ê5\$4ã% # ~
3+ j

$$H_{WPF} = \Phi_{sF} (\Phi_{sF} + \Phi_{v,RE})^{-1} \quad (4.45)$$

X ÎP¼E÷0; J)à L} š x ì , - È v _ J)- 7B N#FP @ a-O È j!" iF >5ž5\$4ã
% # ~3+ œ ? j

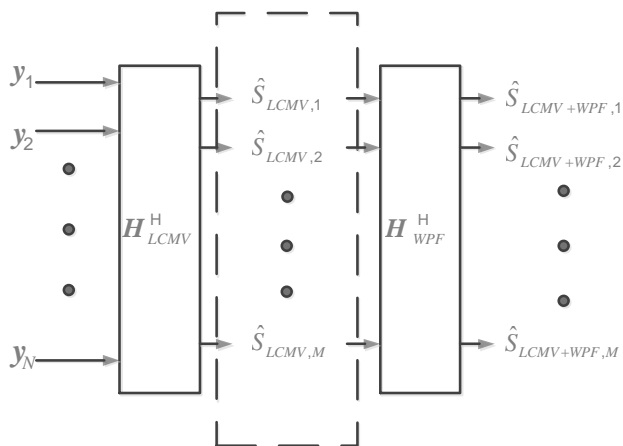
$$\mathbf{H}_{WPF} = (1 - \beta_b) \Phi_{sF} (\Phi_{sF} + \Phi_{v,RE})^{-1} + \beta_b \mathbf{I} \quad (4.46)$$

Ê y LCMV 4*6 > O K ' ¼6ü Ÿ š Ì)• , " I j r_n È : ?] β_b _ > š" 9 £ , ' Ð s3+ È +X ; ?>~|j

$$\beta_b = 1 - e^{-k_c r_n} \quad (4.47)$$

F GÜ3+ k_c 4ÿP¼ I j 0.9 Ä!" F È `AÑ, ' š (w!åF9 • q 6Gý?± È ² Ì # m 7- J , ' ëL" ¢ È IF9 , ' š (w!åM0?± 5 [0 È ...) , ' ¢ @ 6 ÈF g , '- 7B N#!» +%oo, ' ¢ @ 6 J" E³ A Ä

Y+XMMSE ö I 6B N# 6/ë úL} š1Ç# 6 j T ZI•PÔ È ². 4.2 p/j Ä



. 4.2 LCMV 5 85\$4ã% # 1Ç# 5 ' .

Fig. 4.2 The Structure of LCMV and WPF

4.2.2 语音重叠帧检测算法

B 1Ç# M0?±B\$B ê, ' xP¼ Ÿ È a _ ò ^ 4 ê) 9, ' M ZB N#!å Ä \ .D0! ¶ 0/ý Y+X m) ÈFJ% # ~ ∈ VNÁ B3 f (Gammatone Subband Frequency Modulation, GSFM) L} I , ' é# • j 6Gý B N# W(w!å ¼ ...B\$B ê(w!å Ä

OÆ1° ... 6 À 0 ;!" VB3 f ¼NÁBa(© ± Ä!" V ' 4ÿE÷NÁ)·B3 f > x+O \$ JNÁ)· 6 Gÿ, ' ' Ä B3 f ' , ' u Ö ¼NÁ)· @ 6 i < i ý "B3 ' , ' NÁ)· @ 6 È wAîE-# NÁ)· j f_c ÈB3 f 'NÁ)· j f_m ÈB3NÁ 7 j β_c ÈE-# ' _ u j A_c È " » , 'B3NÁ ' x_c(t) ² ;

$$x_c(t) = A_c \cos(2\pi f_c t + \beta_c \sin(2\pi f_m t)) \quad (4.48)$$

E-# NÁ). j ò63&é È1\ n ZNÁ). 6Gÿ, ' _ u β_c _1\ n LfCM Ž D3+ ÄGý W < &
5 [T Z ' È j ¶ ï ¼ 6 À È AÔ jGý W8# A 5 [T Z ! " V# È T ZNÁ). , ' NÁ).
B3 f ' ² ;

$$x_c(t) = A_c \cos(2\pi f_c t + \beta_{c1} \sin(2\pi f_1 t) + \beta_{c2} \sin(2\pi f_2 t)) \quad (4.49)$$

Y+Xn LfCM Ž D - ... 0 > : ? j

$$x_c(t) = A_c \sum_n \sum_m J_n(\beta_1) J_m(\beta_2) \cos(2\pi(f_c + nf_1 + mf_2)t) \quad (4.50)$$

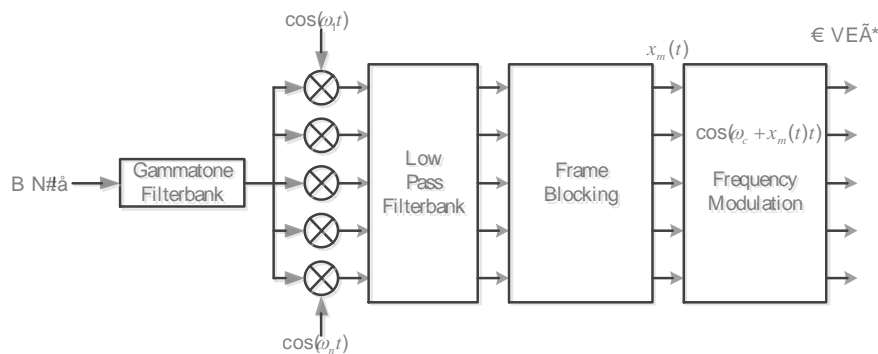
) ¼Gý W •B\$ ÈLî&é _ j 6 -(£, ' B@# @ 6 ¼ =-(£, ' MŽB@# NÁ). 6Gÿ 0 éM' È
² ÌF T ZNÁ). @ 6 _-(£, ' È : ? 1° F j

$$x_c(t) = A_c \sum_n (K_n) \cos(2\pi(f_c + n f_1)t) \quad (4.51)$$

) ¼!ÿ 04ô m ¼n 9 ; ?

$$K_n = J_n(\beta_1) J_m(\beta_2) \quad (4.52)$$

'f6< fNÁ VE³ í & È ...N# WNÁ). B3 f ' • § 9 ¶ J ZNÁ). @ 6 È6< DD JN# W, '
[ÿ ? È j ¶ \$ - ` j 6F T2«M0?± 6 µ T [B N#FJE÷ 0 Z% # ~4ô È p6< ` ! 6@
` J Z0' V Ä XAÑ1Ç \?ù j Ÿ 6 ÀN¶ È ê h+X Gammatone% # ~ • Q \?ù, 'N'
4*6 Ä \ .D0!, ' é# x _+X Gammatone% # ~ 6 µ ð#{ ' 6@ ` J Z ∈ V È Ö-p
G÷+XNÁ). B3 f, ' é# Ä T [!ÿ ZB N#!â _ V jGý WM0?±M• J Z ∈ V, ' T [5 Ì j < ã
È Ä ² Ì 0 Z ∈ FJFf ' =7- O T [* _ ...N# WF _Gý W È FJE÷ ! FJFf, '5
ÌF >|>• ÈF g Š ¼ ... 0 ã1† j Ÿ -(" § 9 \$ -, ' 08\$ W ¼0c È W Ä B 1Ç# (© ±
² ; . p/j



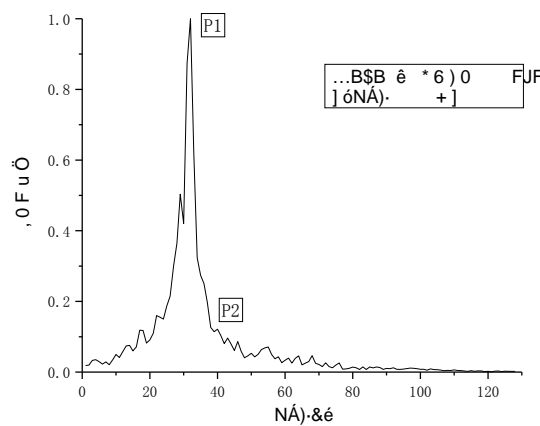
. 4.3 GSFM5 ´

Fig. 4.3 Structure of GSFM

OÆ x 6EÃ • 'FJE÷ 0 Z Gammatone% # ~ 6 @ J Z ∈ V ' È!ÿ Z ∈ V ' ½
 4ÿE÷-(¢@ B3NÁBa \0+ ` * V È ½4ÿE÷NÁ)·B3 fEÃ * Ä wAîEÃ *NÁBa]1\i Z I j
 $P_i(t, f)$ ÈFÓ x% L} ∈ , 'AÑ1Ç œ ? j

$$R_o(t, f) = \sum_{i=2}^N \frac{P_1(t, f)}{P_i(t, f)} \quad (4.53)$$

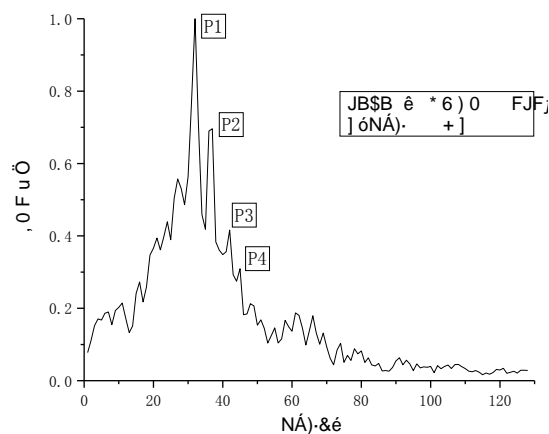
Y+X% L} ∈ • T [B N# W ¼Gý WÈ% L} ∈ FJE÷6Š2«1Ç# 9ç Ç È \ ·G÷+X4ÿP¼
 I j 2 Ä] óNÁ)· j 500Hz, ' ...N# VGSFM ² . 4.4 p/j Ä



. 4.4 ...B\$B êGSFMNÁBa .

Fig. 4.4 Single Speaker GSFM Spectrogram

] óNÁ)· j 500Hz, 'Gý W GSFM ² . 4.5 p/j Ä



. 4.5 JB\$B ê GSFMNÁBa .

Fig. 4.5 Co-channelGSFM Spectrogram

4.2.3 说话人索引

Y+X VAD ¼Gý W ð#{ Ç ` ...N#!âB N# È ²ì?± Ä+X ` 0; N¶ F M0?± Î &
\$ àB\$B ê xP¼ ÿ ÈFJ hG- Y+X Q »F >|B\$B ê3R E FAö [È® `) Ä!ÿ Z êB ê, '
...N#!â È v _ é# G-" E³ = r È ,Lî Š ` Î & 4*6 ÈF 1ÇGÿ •" E³ W È \ .D0! ¶ 0/ý
1° ..., 'FJE÷(© ± ¼6Š2« , ' é# F >|B\$B ê3R E Ä
1\ 0!• i ž ...N#!â, ' •# é AF >| ,2« È Y+X * ¾-(} ' , ' - y Â-(£# (Phase
Transform Generalized Cross Correlation) PHAT-GCC) F >| TDOA ` AÑ È wAîEÄ • ' &
NÁ j x(f, l) È f >~NÁ)• È l >~ & W ' È F g!ÿ 0)TÖ {NpG-7- Ç ` 0 Z & &

$$q'_{jj'}(l) = \arg\max_{q'} \sum \frac{x_j(f, l)x_{j'}^*(f, l)}{|x_j(f, l)x_{j'}^*(f, l)|} e^{j2\pi f q'} \quad (4.54)$$

J Z & & ' @ 0 Z & & AGÿ q(l) È Ê y •# é A, "d £ é A@ Ö j θ(l) È Q Ö é A@
Ö j φ(l) ÄFÓ x a 9

$$q(l) = [\cos\theta(l)\cos\phi(l), \sin\theta(l)\cos\phi(l), \sin\phi(l)]^T \quad (4.55)$$

* ¾ PHAT-GCC ` AÑ Ç ` , '(© ± _Lç!ÿ W ' \$ à, ' È ! = _Lç-p &NÁ , ' &LÉF >|
\$ à Ä

Ö ; •) &NÁ , '(© ± F >|6Š2« 4*6 È • j 6 4 Z B\$B ê È -+XB é# F M0?±
5 AÑB\$B ê - È FJE÷N¶ , D Lç6Š2«1Ç# @ ã Ä f \!âB N# Ž ¾1\ k ZLö5Ô & È a
® ` ¶1\ k Z ê, '3R E È 0 >FJE÷ £% 4*6Lb! '5 ì0± È) ¾!ÿ ZB\$B êCŞ û }5žB
1Ç# G-7- È Î & , ' ÿ Ä

B 1Ç#) š ¼ ç , ' • O0; ÖE³ W ÈB\$B ê3R E, '!" .ž)•F M0F 0!• Q ÈB é
F M0?± >5 \$! r!Q.D 0! Ä

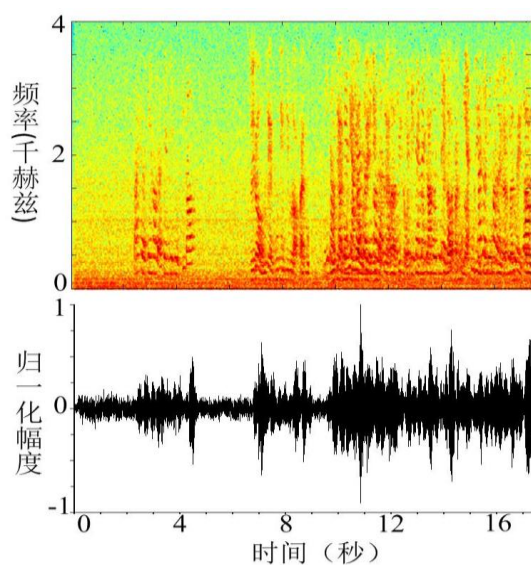
4.3 性能评估

4.3.1 实验条件

ÎP¼ oL\$K íQ W ? j 10m×6m×3m È -Ff 9 = Ñ ~Np w œ j š \$À ÈG÷LöAî 7 j
XMOS £ ; ReSpeakerMicrophoneArray² . 4.5 p/j ÄG÷ gNÁ)• j 16kHz È 6 ~ w
0 6 3 6 ZTÖ {Np È] ó 3Aî 1 ZTÖ {Np È ...N#Eÿ & ¶4 } AudacityÈ6 FJFf16bit
ž Ä .1 6 [+X MATLAB ¼ C B @Ô)à È £ 6 [j MATLAB R2010a ¼ VS2015/n
j(x Ä\8² ÎP¼ 9 ÎLu ...N# • 9 /-O ÎP¼ È /-O ÎP¼+X \$' ý ÎP¼ Ô ... f4ß ðB N# ¼
IMAGE Q »+O @ ž Ä wAîLe G 6 ó ` 1 'TÖ {Np œ j xE± È \$À é A 6 [j 90 Ö ¼
145 Ö ÈD /ëTÖ {Le G 5 2£F ÈMATLAB /-O & •F gAî5ž Ä

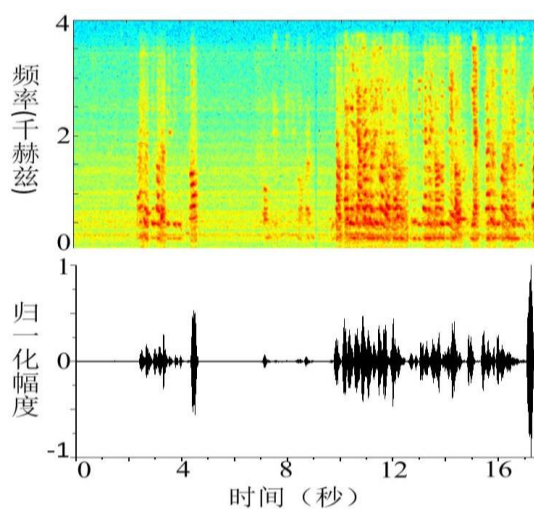
4.3.2 实际录音增强

Y+XTÖ {NpLe GG÷LÖD B N# È-XLCMV 5 85\$4ã >5ž% # , ' é# F >|F jB N# Î
j È OÆ x _ 0!âM%oN# W È'f A 0 ûB\$B È. ² OEN⁻ > B 0 ûB\$B È ½ OEN⁻ AAè > 0
û 0C\$B\$B ÈG÷Lö` FJFfB N# ¼B Ba .². 4.6 p/j È ⁻+X iF 1Ç# # •@ ' >Îj
B\$B ê A , '5 ì². 4.7 p/j Ä



. 4.6 G÷LöB N## ' . ¼B Ba .

Fig. 4.6 Wavform and Spectrogram of Collected Voice



. 4.7 iF , '1Ç# Îj5 ì

Fig. 4.7 Improved Algorithm Result

FJE÷)" . 4.6 ¼ . 4.7 . È A iF , '1Ç#) ¢ ' § 9 , -, ' Á f x Ì È
6< D •7- ëL"6ü Ÿ š È pB Ba .)" x Ì •-; ÈB 1Ç#) O KB N#"Ñ 9FP @ , W, ' •
T È a-OE³ ? È ¢ f •-; § 98Ÿ -, ' î j x Ì Ä

4.3.3 语音分离能力评估

j ¶#{B B 1Ç# , 'B N# 6/ë7- È È wAîEÄ *B N# ' j s_{out} È ò63 ·)^ [37]Gü, 'B N#
Lk Ž7- È " (Blocking Ability Ratios, BAR) È Ì È y² ; Ö

$$BAR(j, i) = \frac{1}{l} \sum_l 10 \log_{10} \frac{\sum_k |s_{out, j} l_i|^2}{\sum_k |X_{1, j}(l, k)|^2} \quad (4.56)$$

? (4.56)Gü >~?± î j, '1\ i Z ê È j >~ î j5 Ì j1\ j Z ê, ' Á f0; Ö Äf j=i &
>~#{B 1\ j Z ê, 'B N# a-O Ö È f j ¼ i =-(1y & È l>~ /j î j1\ i Z êEÄ * j1\ j Z
ê, ' @ 6 W ? È k >~NÁ)·3R E Ä

/-O)ß³ 6 [Aî5ž\$' ý &L\$ j 360ms ¼ 160msÈ4ß ðB N# j T ZB\$B ê È\8²#{B
¶ /ý é# È 6 [_ MVDR ÄLCMV ÄLCMV 5 8 WPF ¼ \ · iF , ' é# Ä

>~ 4.1 MVDR 1Ç# BAR

Tab.4.1 BAR of MVDR Algorithm

B\$B ê	T60=160ms EÄ *		B\$B ê	T60=360ms EÄ *	
	i=1	i=2		i=1	i=2
j=1	-1.55	-2.84	j=1	-1.62	-2.45
j=2	-3.40	-0.81	j=2	-3.05	-1.09

>~ 4.2 LCMV 1Ç# BAR

Tab.4.2 BAR of LCMV Algorithm

B\$B ê	T60=160ms EÄ *		B\$B ê	T60=360ms EÄ *	
	i=1	i=2		i=1	i=2
j=1	-2.57	-7.74	j=1	-3.77	-9.57
j=2	-8.98	-2.02	j=2	-8.50	-3.05

>~ 4.1 žB\$ > MVDR é# XB N# 6/ë7- È : q 6 9L€ È v _) İB N# a-O , ? È
6< DLç-p\$' ý &L\$ Î W È Ì 6 /ë7- È • 9 0 ÈL} ~ ÈFP @, ' a-O • W ¶ Ä>~ 4.2 ž
B\$ > LCMV 1Ç# B N# 6/ë7- È" MVDR j È v _) İB N# a-O0= Þ W ÈLç-p\$' ý &
L\$ Î Ð È Ì 6/ë7- È î j È v-(Ä, 'B N# a-O • W Ä

>~ 4.3 LCMV 5 8 WPF1Ç# BAR

Tab.4.3 BAR of LCMV+WPFAlgorithm

B\$B ê	T60=160ms EÃ *		B\$B ê	T60=360ms EÃ *	
	i = 1	i = 2		i = 1	i = 2
j = 1	-1.51	-11.90	j = 1	-2.14	-7.42
j = 2	-11.41	-4.17	j = 2	-10.81	-5.02

>~ 4.4 iF , ' 1Ç# BAR

Tab.4.4 BAR of improvedAlgorithm

B\$B ê	T60=160ms EÃ *		B\$B ê	T60=360ms EÃ *	
	i = 1	i = 2		i = 1	i = 2
j = 1	-1.49	-17.46	j = 1	-1.52	-13.66
j = 2	-20.55	-1.83	j = 2	-15.47	-2.12

>~ 4.3 žB\$ > LCMV 5 8 >5ž5\$4ã% # 1Ç# , 'B N# 6/ë7- È , j ÒB N# a-O Ö û
 ¼MVD R ¼LCMV {L\$ È\$' ý &L\$, ' W - ì 6/ë W7-L} ~ ÈB N# a-O • 9 p W Ä
 >~ 4.4 žB\$ > iF , '1Ç# B N# 6/ë7- È>~)à 0 - È)B N# a-O Ö0= W ¼ LCMV 5 8
 WPF, '1Ç# È\$' ý &L\$ Î Ð • J ,8\$ ì 6/ë W7-L} ~ È)B N# • T • 9 p Î W Ä > T
 /ý1Ç# X `AÑ ATF & \$' ý ; ý È\$' ý &L\$C°K È+X-(<K Ö , ' % # ~ Ç ` , ' `AÑ I
 ¼-O Î I • C° W È p \$' ý &L\$ W J ,8\$ > T/ý 1Ç# , ' 6/ë 7- È 9 p L} ~ È 6< D)
 O K ' , ' a-O • J 9 0 È Î Ð Ä k f •-; È iF 1Ç# , 'B N# 6/ë x ì 0 - Ä

4. 3. 4 输出信干噪比评估

/-O & Aî ÊTÖ {NpLe G] ó ¼ 0 'TÖ {Np, 'F 4î j ò63 x E¤ ÈX 30 Ö é A : Ð&é
 ¢ \$À ÈD /ë 32£ ÈB\$B ê A • 4 é A j 90 Ö ÈD /ë 52£ ÈB\$B ê B • 4 é A j 145
 Ö ÈAî5ž ¢ \$À ¼4ß ðB N# ' , ' ï) • W8\$-(< È EÃ • ' , ' š" 6 [_ 0dB ã5dB ã
 10dB ¼15dB È 6 [#{B F /ý õ à È Ç `B N# Î j5 Ì Ä EÃ • š" W ? 6 [X>~]
 5 * È wAî4ß ðB N# ' j s ÈEÃ * ' , ' ¢ š" È y²;

$$\text{SINR} = \frac{1}{l} \sum_l 10 \log_{10} \frac{\sum_k \|s\|^2}{\sum_k \|s - s_{out}\|^2} \quad (4.57)$$

>~ 4.55 AÑ Ç ` \$' ý 160ms, 'EÃ * ¢ š" È>~ 4.65 * ¶ \$' ý &L\$ 300msEÃ*
 ¢ š" 5 AÑ5 Ì Ä

>~ 4.5 160ms\$' ý ' & ;EÃ * ¢ š"

Tab.4.5 SINR on 160ms reverberation

1Ç#	EÃ • š"			
	0dB	5dB	10dB	15dB
Z 4*6	-12.34	-9.52	-7.72	-6.54
MVDR	-8.07	-6.09	-4.88	-4.37
LCMV	-8.65	-5.82	-1.83	1.25
LCMV+WPF	-2.43	0.07	1.39	4.89
\.1Ç#	-3.01	-0.28	1.12	3.44

>~ 4.6 360ms\$' ý ' & ;EÃ * ¢ š"

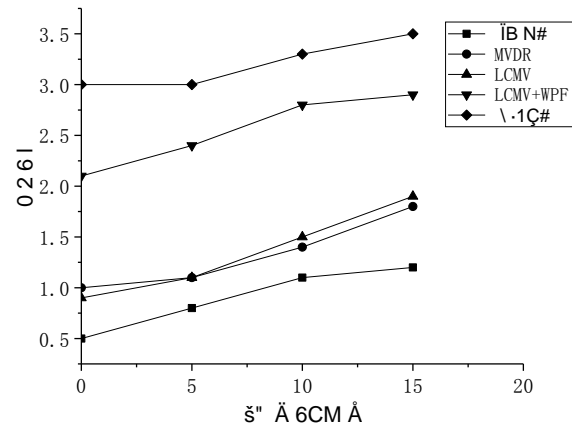
Tab.4.6 SINR on 360ms reverberation

1Ç#	EÃ • š"			
	0dB	5dB	10dB	15dB
Z 4*6	-12.62	-9.61	-7.83	-6.67
MVDR	-8.21	-6.23	-4.97	-4.40
LCMV	-8.89	-5.94	-1.97	1.18
LCMV+WPF	-2.40	0.11	1.35	4.86
\.1Ç#	-2.89	-0.22	1.01	3.39

FJE÷ 6 Å>~ 4.5 ¼>~ 4.6 . È W f-; • È MVDR 1Ç# X SINR éM'7-Îj 3dB È
 ! XEÃ • SNRE³ ~ & Îj > n ÈLç-p SNR Q È EÃ * SINR, ' w ÿ ? Ä LCMV 1Ç#
 XEÃ • SNRE³ ~ & X SINR 7- Q 4dB ÈLç-p SNR Q È ! X SINR éM' Q , J Ä
 LCMV 5 8 WPF1Ç# X w SINR éM' x ì 0 - È W f7- O Q 10dB Ä \.i F, '1Ç
 # X Q ¢ š" éM'+•F: ¾ LCMV 5 8 WPF1Ç# È W f Q 9dB Ä XEÃ • SNRE³
 ~ & È \.1Ç# D 1\ 9/ý-(= W È XEÃ • SNRE³ Q & È \ 9/ý1Ç# X Q SINR éM'
 " \.1Ç# - È v _ \.1Ç# ÿ ? ¶B N# a-O Ö È X T65 {L\$9ç Ç 0 Z £>' Ä \.1Ç#
 -(E³ ¾ } T/ý 1Ç# 7- 9 = A, ' ¢ š" Q È T ! _EÃ • š" E³ ~ õ å ; \$7- f)à *
 H ï Ä \$' ý & L\$ K⁻ J⁻ MVDR ¼ LCMV 1Ç# x ì È 6<) LCMV 5 8 WPF1Ç#
 ¼ \.1Ç# i ý E³ ? Ä

4.3.5 增强语音 MOS 值

\8²# {B = <EÃ • š" ' & ; 41Ç# £ w k?ò ??ñ 6 (MeanOption Score, MOS)Ä
 !5 ì p ~ `Q j 1 ` 5 È k?± i ž, ' _B N#, '\$5 Ö ¼ ò Ö È # {B B N# j J ZB\$B
 ê 0C\$AâB , ' õ ' ÄF9 50 4ô È !y4ô 3600 K⁻ È "r £ w I Ä



. 4.8 41Ç# ÎjB N# MOS
Fig. 4.8 MOS of Different Algorithms

p . 4.8 -; * È iF 1Ç# B N#Îj5 ìX MOS I:9 ,W H ï È Aê _ ~
š" F _Q š" G-7-9ç Ç8ÿ -, 'B N# 6/ë ¼ ë ø ã š , 'x ì Ä LCMV 5 8 WPF
x ì!Q { È MVDR 1Ç# ¼ LCMV 1Ç# X J Z êB\$B & Îjx ì , 08\ Ä

结 论

B N# î j ¼ Á f _B N# 4*63+5] k?±, ' ï7- Q ± Ä \ .D0! ¶6,, 8 0 H NÁ
 NLMS 1Ç# ¼ iF , ' LCMV 5 8 WPF1Ç# È }65FJE÷ H F!•K ¯ \$ à é ? È7- O X üAâ
 ' & ; ¯8 F2 Ä% # ~ FO f ¯ È p6<9ç Ç8ÿ -, ' #,L"7- Ë x >65FJE÷ X O K '
 a-O ¼ ëL"6ü ÿ š T65 £>' È) LCMV 5 8 WPF1Ç# F >| ¶ iF È ! DFJE÷F9
 = <, ' ¢ ' •9ç Ç \$ -, 'B N# î j x ì Ä*6Aê 6 À ¼ ÎP¼ >~ > È \ . é# X 0; Ä
 +X]7- O9ç Ç8ÿ -, ' x ì Ä/-O ÎP¼ • p ! W7- éM'P¼Añ ¶ \ .1Ç# " P5 é# x ì
 8ÿ - Ä

\ .) \$À 6/ë ¼ #,L" é# F >| ¶.D0! È Ç ¶ 0 È @ ì Äv+a ¾ &L\$ ¼"d £
 9L€ È ý 9 0 ËL NÈM0?±F 0!•.D0! Ö

(1) X \ .D0!, ' AEC 1Ç#] ÈNÁ 8 F2 Ä% # 1Ç#] _+X P5 , '-\$ Õ# F >| ï).
 Ba `AÑ È; 0!• Œ 63<• +X)à Ba `AÑ é# / È v _ È?±63<•! F 1ÇGÿÈ ï X
 W7- ¼AÑ1Ç r Ö T65]L\$9ç Ç £>' Ä

(2) \ . , ' B N# î j 1Ç# +X ` ¶ xP¼ ÿ È !" ÈZ • M0?±.D0! \$ Đ ö.ž, ' ð#{ é# È
 AñB N# 6/ë ¼L} š, ' W7- Ä

参 考 文 献

- [1] "š { í È » E . R± 8 F2 ÄLe G ' 4*6 [M]. G Ü: +e € J *(x/n ,2009.
- [2] Widrow B, Mantey P E, Griffiths L J, et al. Adaptive antenna systems[J]. Proceedings of the IEEE, 1967, 55(12): 2142-2159.
- [3] Chevalier P, Blin A. Widely linear MVDR beamformers for the reception of an unknown signal corrupted by noncircular interferences[J]. IEEE Transactions on Signal Processing, 2007, 55(11): 5323-5336.
- [4] Kellermann W. A selfsteering digital microphone array[C]IEEE International Conference on Acoustics, Speech, and Signal Processing, Toronto, Ont., Canada, 1991: 3581-3584.
- [5] Frost O L. An algorithm for linearly constrained adaptive array processing[J]. Proceedings of the IEEE, 1972, 60(8): 929-935.
- [6] Zelinski R. A microphone array with adaptive processing for noise reduction in reverberant rooms[C] IEEE International Conference on Acoustics, Speech, and Signal Processing, New York, USA, 1988: 2578-2581.
- [7] McCowan I A, Boulard H. Microphone array processor based on noise field coherence[J]. IEEE Transactions on Speech and Audio Processing, 2003, 11(6): 1709-1719.
- [8] Saruwatari H, Kikta S, Takeda K, et al. Speech enhancement using nonlinear microphone array with noise adaptive complementary beamforming[C]IEEE International Conference on Acoustics, Speech, and Signal Processing, Istanbul, Turkey, 2000: II1049-II1052 vol. 2.
- [9] Cohen I, Berdugo B. Speech enhancement based on a microphone array spectral amplitude estimation[C]Electrical and Electronics Engineers, Israel, 2002: 46.
- [10] Balan R, Rosca J. Microphone array speech enhancement by Bayesian estimation of spectral amplitude and phase[C]IEEE Sensor Array and Multichannel Signal Processing Workshop Proceedings, Rosslyn, Virginia, 2002: 209-213.
- [11] Yan Z, Du L, Wei J, et al. Twochannel microphone array processing for speech enhancement[C] IEEE International Symposium on Circuits and Systems, Bangkok, Thailand, 2003, 2: II-11.
- [12] Cho J, Krishnamurthy A. Speech enhancement using microphone array in a moving vehicle environment[C] IEEE Intelligent Vehicles Symposium Proceedings, Hilton Hotel, Columbus, Ohio, USA, 2003: 366-371.
- [13] Choi C, Kong D, Kim J, et al. Speech enhancement and recognition using circular microphone array for service robots[C]Intelligent Robots and Systems (IROS), Las Vegas, NV, USA, 2003, 4: 3516-3521.
- [14] Sekiya T, Kobayashi T. Speech enhancement based on multiple directivity pattern using a microphone array[C] IEEE International Conference on Acoustics, Speech, and Signal Processing, Montreal, Quebec, 2004: 1-877.
- [15] Slimene I, Jebara S B, Benabdenyahia A. Use of coherence in wavelet and multiwavelet domain for microphone array speech enhancement[C]1st International Symposium on Control, Communications and Signal Processing, Hammamet, Tunisia, 2004: 627-630.

- [16] Halupka D, Rabi S A, Aarabi P, et al. Real time dual microphone speech enhancement using field programmable gate arrays[C] IEEE International Conference on Acoustics, Speech, and Signal Processing Philadelphia, Pennsylvania, USA, 2005 5: v/149v/152 Vol. 5.
- [17] Wang D, Yin F. Subband adaptive beamforming for microphone array speech enhancement[C] IEEE International Conference on Signal Processing Guilin, China, 2006 4.
- [18] Halupka D, Rabi A S, Aarabi P, et al. Low power dual microphone speech enhancement using field programmable gate arrays[J]. IEEE Transactions on Signal Processing, 2007, 55(7): 3526-3535.
- [19] Gupta M, Douglas S C. An iterative spatiotemporal speech enhancement algorithm for microphone arrays[C] IEEE International Conference on Acoustics, Speech and Signal Processing Las Vegas Strip, USA, 2008: 8184.
- [20] Yiu K F C, Ho C H, Grbic N, et al. Reconfigurable acceleration of microphone array algorithms for speech enhancement[C] Application-Specific Systems, Architectures and Processes, 2008, Belgium, 2008: 203208.
- [21] Zhang H, Fu Q, Yan Y. A compact microphone array based speech enhancement algorithm using auditory subbands and probability constrained postfilter[C] Hands Free Speech Communication and Microphone Arrays Trento, Italy, 2008: 192195.
- [22] Cheng N, Liu W J, Li P, et al. Microphone array speech enhancement based on a generalized postfilter and a novel perceptual filter[C] IEEE International Conference on Signal Processing Beijing, China, 2008: 370373.
- [23] Hu J S, Huang C Y, Yang C H, et al. Sound source tracking and speech enhancement by microphone array on an embedded core processor platform[C] Advanced Robotics and Its Social Impacts, ARSO 2008, Taipei, 2008: 16.
- [24] Song H, Liu J. First order differential microphone array for robust speech enhancement[C] International Conference on Audio, Language and Image Processing Shanghai, China, 2008: 1461-1466.
- [25] Wang D, Zheng J, Wu T. A broadband beamforming method based on microphone array for speech enhancement[C] International Conference on Signal Processing Systems (ICSPS) Dalian, China, 2010, 2: V2363-V2-366.
- [26] Milani A A, Kannan G, Panahi I M S, et al. A multichannel speech enhancement method for functional MRI systems using distributed microphone array[C] Engineering in Medicine and Biology Society, Minneapolis, MN, USA, 2009: 6946-6949.
- [27] Shan L, Yang P, Zhou J. The Mobile Microphone Array Speech Enhancement Technology Based on FEA[C] International Conference on Electrical and Control Engineering (ICECE) Wuhan, China, 2010: 2375-2378.
- [28] Yao C C. Adaptive microphone array based filter in the speech enhancement[C] Networked Computing and Advanced Information Management (NCAIM) Jeongju, South Korea, 2011: 237-242.
- [29] Ma X, Mu K. Study on 2 dimensional microphone circular array speech enhancement algorithm based on the DOA[C] IEEE Electronic and Mechanical Engineering and Information Technology (EMEIT) Harbin, China, 2011, 5: 2505-2508.

- [30] Mirsamadi S, Hansen J H L. Multichannel feature enhancement in distributed microphone arrays for robust distant speech recognition in smart rooms[C]IEEE Spoken Language Technology Workshop (SLT),South Lake Tahoe, NV, USA,2014: 507512.
- [31] Hsu C C, Cheong K M, Chi T S. A nonuniformly distributed three microphone array for speech enhancement in directional and diffuse noise field[C]. International Symposium on Chinese Spoken Language Processing (ISCSLP),Singapore,2014: 574578.
- [32] Sakanashi R, Ono N, Miyabe S, et al. Speech enhancement with microphone arrays using single source activity[C]Asia-Pacific Signal and Information Processing Association Annual Summit and Conference (APSIPA),Maohsiung, Taiwan,2013: 16.
- [33] Fen Z X, Wei Z, Liu Y T, et al. A DBF method of localizing accuracy improvement and speech enhancement based on a new microphone arrays[C]IEEE International Conference on Signal Processing (ICSP),Beijing, China,2012, 1: 303306.
- [34] Yu C, Su L. Speech enhancement based on the generalized sidelobe cancellation and spectral subtraction for a microphone array[C]International Congress on Image and Signal Processing (CISP),Shenyang, China,2015: 13181322.
- [35] Huang Y A, Luebs A, Skoglund J, et al. Globally optimized least squares postfiltering for microphone array speech enhancement[C]IEEE International Conference on Acoustics, Speech and Signal Processing (ICASSP),Shanghai, China,2016: 380384.
- [36] Schwartz O, Braun S, Gannot S, et al. Source Separation, Dereverberation and Noise Reduction Using LCMV Beamformer and Postfilter[C]International Conference on Latent Variable Analysis and Signal Separation, Grenoble, France,2017: 182191.
- [37] Schwartz O, Gannot S, Habets E A P. Multispeaker LCMV Beamformer and Postfilter for Source Separation and Noise Reduction[J]. IEEE/ACM Transactions on Audio, Speech, and Language Processing, 2017, 25(5): 9451.
- [38] Markovich-Golan S, Gannot S, Cohen I. A sparse blocking matrix for multiple constraints GSC beamformer[C] IEEE International Conference on Acoustics, Speech and Signal Processing (ICASSP),Kyoto, Japan,2012: 197200.
- [39] Markovich S, Gannot S, Cohen I. Multichannel eigenspace beamforming in a reverberant noisy environment with multiple interfering speech signals[J]. IEEE Transactions on Audio, Speech, and Language Processing, 2009, 17(6): 10786.
- [40] Gannot S,Burshtein D, Weinstein E. Signal enhancement using beamforming and nonstationarity with applications to speech[J]. IEEE Transactions on Signal Processing, 2001, 49(8):62614
- [41] Ephraim Y, Malah D. Speech enhancement using a minimum mean square error shorttime spectral amplitude estimator[J]. IEEE Transactions on Acoustics, Speech, and Signal Processing, 1984, 32(6): 1109121.
- [42] Yantorno R E. Channel speech and speaker identification study[R]Temple Univ Philadelphia PA, USA, 1998.
- [43] Yantorno R E. A study of the spectral autocorrelation peak valley ratio (SAPVR) as a method for identification of usable speech and detection of channel speech[J]. Temple Univ., Speech Processing Lab. Tech. Rep.,Philadelphia, PA,USA,2000.

- [44] Yantorno R E, Krishnamachari K R, Lovekin J M, et al. The spectral autocorrelation peak valley ratio (sapvr) a usable speech measure employed as a channel detection system[C] IEEE International Workshop on Intelligent Signal Processing (WISP), London, UK, 2001, 2.
- [45] Ofoegbu U O, Iyer A N, Yantorno R E, et al. Unsupervised indexing of conversational short speaker utterances[C] IEEE Aerospace Conference Big Sky, MT, USA, 2007: 111.
- [46] Smolenski B Y, Yantorno R E, Benincasa D S, et al. Channel speaker segment separation[C] IEEE International Conference on Acoustics, Speech, and Signal Processing (ICASSP), Orlando, FL, USA, 2002, 1: 1-125-1-128.
- [47] Shah J K, Iyer A N, Smolenski B Y, et al. Robust voiced/unvoiced classification using novel features and Gaussian mixture model[C] IEEE International Conference on Acoustics, Speech, and Signal Processing, Montreal, Quebec, Canada, 2004: 1721.
- [48] Moattar M H, Homayounpour M M. Speech Overlap Detection using Spectral Features and its Application in Speech Indexing[C] Information and Communication Technologies, Damascus, Syria, 2006, 1: 127-1274.
- [49] Nickel R M, Iyer A N. A novel approach to automated source separation in multispeaker environments[C] IEEE International Conference on Acoustics, Speech and Signal Processing, Toulouse, France, 2006, 5: VV.
- [50] Ofoegbu U O, Iyer A N, Yantorno R E, et al. A simple approach to supervised speaker indexing[C] International Symposium on Intelligent Signal Processing and Communications Tottori, Japan, 2006: 339-342.
- [51] Dessein A, Cont A, Lemaitre G. Real time detection of overlapping sound events with non-negative matrix factorization[M]//Matrix Information Geometry. Springer, Berlin, Heidelberg, 2013: 343-371.
- [52] Iyer A N, Ofoegbu U O, Yantorno R E, et al. Speaker Recognition in Adverse Conditions[C] IEEE Aerospace Conference Big Sky, MT, USA, 2007: 18.
- [53] Shokouhi N, Sadjadi S O, Hansen J H L. Channel speech detection via spectral analysis of frequency modulated subbands[C] Fifteenth Annual Conference of the International Speech Communication Association, Singapore, 2014, 17: 1-20.
- [54] Jia M, Sun J, Deng F, et al. Single source bins detection based localisation scheme for multiple speech sources[J]. Electronics Letters, 2017, 53(6): 4320.
- [55] Schmidt R. Multiple signal classification (MUSIC)[J]. ESL Technical Memo TM 1098, 1979.
- [56] Brandstein M, Ward D. Microphone Arrays[J]. Digital Signal Processing. Springer Verlag, 2002.
- [57] 7 - - . ‡ ' 4*6 (1\ 9(x))[M]. G Ü: \$5 ~ W - *(x/n , 2012.
- [58] Shynk J J. Frequency domain and multirate adaptive filtering[J]. IEEE Signal Processing Magazine, 1992, 9(1): 137.
- [59] Ciochină S, Paleologu C. An optimized NLMS algorithm for acoustic echo cancellation[C] International Symposium on Signals, Circuits and Systems, Iasi, Romania, 2015: 14.
- [60] Ephraim Y, Malah D. Speech enhancement using a minimum mean square error short time spectral amplitude estimator[J]. IEEE Transactions on acoustics, speech, and signal processing, 1984, 32(6): 1109-1121.

致 谢

T 𐀀, ' +O#ß £ 6E÷ ð È , J7- È ¼ •- &" G- Ç` ¶ , W, 'B3Q È F 0Lf!â f
9çN· ` È OL\$ u% ¶Aè J5¾ -, ' ö Ä
OÆ x OBR A, ' , 8Lx ¶ % , ÈLx61 8)0 .D\$!\$!' (a È) Œ 0 M =9 ÈF /ý2î/Ž
O ¶ A Ä •-)AÝ] = ð _ ¶ W æ, ' K à ?Aö ÈF % J A , J Î+X W °7- Ä!ÿ f
Fw `LîNÈ A B' % È k 7-9ç Ç , -, '@ ã é x È •- J ² ... ® ` M63L NÈ, '@ Ö È>§ ó
OBRLx61 8 Ä
< &F ?± OBR A ÎP¼ Ô, '!ç/ç 𐀀 % , È!ç61 8 = ð X 0 .DN©- :5 A 7 > é
A ÈF % , A ?± { ÃD? Î È , J & I % J A ² ... 4 » ¼ Š ê Ä !ç61 8 a À A C
: Œ Ç } 0 È ?± Î ç ÈFJE÷8 » ¼ { Ç j/n J ¼ W G Š * Ä 9, ' CQ)^ Ä• o!ç61 8DÛ
f • ç È ŒENª Y Ä
{ >?± OBR" JAîAÑOL\$ 0C\$B8AêL NÈ, ' ± + ÃPœ ® ¼C¥ Y w < - ÈF 9 < z, '
8 t ¼ 8 È OBR X - • ¼+O#k J5 , A /ñ, ' ^ Û Ä
0 >?± OBR A, ' æ ê È X6ü >5 ¶ A Aè J _ 1 ¼UC á ÈAÛ A X"r -FfD :7- O
Û9v Û È f9ç \$ J ÈF 6<Nª Y ¼ @.D0!+O - J Ä

大连理工大学学位论文版权使用授权书

本人完全了解学校有关学位论文知识产权的规定，在校攻读学位期间论文工作的知识产权属于大连理工大学，允许论文被查阅和借阅。学校有权保留论文并向国家有关部门或机构送交论文的复印件和电子版，可以将本学位论文的全部或部分内容编入有关数据库进行检索，可以采用影印、缩印、或扫描等复制手段保存和汇编本学位论文。

学位论文题目： 声学回声消除与波束成形语音增强方法研究

作者签名： _____ 日期： _____ 年 _____ 月 _____ 日

导师签名： _____ 日期： _____ 年 _____ 月 _____ 日